

Vincent Mercat
138, rue Cardinet
75017 Paris
mercat@math.jussieu.fr

**Le problème
de
Brill-Noether
pour des fibrés stables
de petite pente.**

Introduction

Tout au long de ce travail, nous considérons que C est une courbe algébrique lisse de genre g sur un corps algébriquement clos de caractéristique 0.

Le problème de Brill-Noether consistait à l'origine à déterminer à quelles conditions il existe un fibré vectoriel en droites L sur C , de degré d et possédant k sections globales indépendantes. On obtenait ainsi un morphisme de la courbe C dans l'espace projectif \mathbb{P}^{k-1} et la résolution du problème de Brill-Noether dans ce cas a permis de faire considérablement avancer la classification des courbes et l'étude de la variété de modules de courbes \mathcal{M}_g . Les premiers résultats remontent à la fin du siècle dernier. On trouve une approche moderne de ce problème avec une démonstration de tous les théorèmes connus dans l'ouvrage de Arbarello, Cornalba, Griffiths et Harris (cf [A-C-G-H]).

Avec l'apparition des variétés de modules $U_{n,d}$ (resp. $\tilde{U}_{n,d}$) de fibrés vectoriels stables (resp. semi-stables) de rang n et de degré d , le problème de Brill-Noether se généralisait: à quelles conditions existe-il des fibrés stables de rang n de degré d possédant k sections globales indépendantes?

En généralisant les constructions faites dans le cas des fibrés en droites, on est amené à poser (voir le **chapitre 1**):

$$W_{n,d}^{k-1} := \{E \in U_{n,d} \mid h^0(E) \geq k\}$$

$$\tilde{W}_{n,d}^{k-1} := \{[E] \in \tilde{U}_{n,d} \mid h^0(\text{gr } E) \geq k\} .$$

L'apparition de l'exposant $k-1$ est due au cas des fibrés en droites: on cherchait un morphisme $C \rightarrow \mathbb{P}^{k-1}$. Mais pour les fibrés de rang supérieur, cette notation est particulièrement malheureuse.

On donne à $W_{n,d}^{k-1}$ (resp. $\tilde{W}_{n,d}^{k-1}$) une structure de sous-schéma fermé de $U_{n,d}$ (resp. $\tilde{U}_{n,d}$) (cf [L], [A-C-G-H] ou [B-G-N]). Le problème de Brill-Noether consiste alors à trouver quand ces espaces sont vides, quelle est leur dimension, s'ils sont irréductibles etc...

Il résulte de la construction que si $W_{n,d}^{k-1} \neq \emptyset$ et si $W_{n,d}^{k-1} \neq U_{n,d}$, alors on sait que

$$\dim(W_{n,d}^{k-1}) \geq \rho(g, d, n, k-1) = n^2(g-1) + 1 - k(k-d+n(g-1))$$

Jusqu'au début des années 90, nous avons très peu de résultats (cf [Se]) pour les fibrés de rang supérieur à un. Monserrat Teixidor i Bigas démontre en 1991 un théorème qui donne une solution assez générale au problème (cf [Te1] ou théorème B-2 du Chap. 1). Ce théorème est encore aujourd'hui le résultat le plus général que nous possédons. Cependant il n'est pas entièrement

satisfaisant: il n'est valable que pour une courbe générique (dans un sens très vague) et des résultats plus récents montrent qu'il ne donne pas une solution optimale. En 95, Brambila-Paz, Grzegorzcyk et Newstead (cf [B-G-N] ou théorème B-4 du chap. 1) donne une solution au problème pour toutes les courbes si $\frac{d}{n} \leq 1$.

Ce travail consiste en fait à généraliser ce théorème au cas des fibrés stables de pente $1 < \mu < 2$. Nous nous inspirons très largement des idées contenues dans [B-G-N] pour démontrer le théorème suivant:

Théorème: *Soit C une courbe lisse. On suppose que $1 < \frac{d}{n} < 2$. Alors les espaces de Brill-Noether $W_{n,d}^{k-1}$ sont non-vides si et seulement si*

$$k \leq n + \frac{1}{g}(d - n)$$

et alors toutes les composantes irréductibles de $W_{n,d}^{k-1}$ sont de dimension exactement $\rho(g, d, n, k - 1)$.

Pour démontrer ce théorème, nous commençons dans le **chapitre 2** par étudier les fibrés vectoriels engendrés par leurs sections: si F est un fibré vectoriel de rang l et de degré d engendré par ses sections, alors on note $D(F)$ le dual du noyau du morphisme d'évaluation:

$$O \longrightarrow D(F)^* \longrightarrow H^0(F) \otimes O \longrightarrow F \longrightarrow 0$$

Nous obtenons que si F est stable de rang l et de pente $\frac{d}{l} > 2g$, $D(F)$ est un fibré stable de rang $n = d - gl$ et de degré d possédant $n + l$ sections globales indépendantes. La condition $\frac{d}{l} > 2g$ implique que $\frac{d}{n} < 2$. On obtient un isomorphisme

$$W_{n,d}^{n+l-1} \simeq U_{l,d},$$

ceci donne un plongement

$$U_{l,d} \hookrightarrow U_{d-gl,d}.$$

A notre connaissance, l'existence de tels morphismes entre des variétés de modules de fibrés stables étaient inconnus jusque là: nous y consacrerons ultérieurement une étude.

De plus, Paranjape et Ramanan (cf [P-R]) ont montré que si K est le fibré canonique, alors $D(K)$, que nous noterons E_K , est un fibré stable si la courbe C est non-hyperelliptique (semi-stable sinon). On en déduit la non-existence de fibrés stables de pente < 2 avec $k > n + \frac{1}{g}(d - n)$. Nous préciserons quelques propriétés remarquables de ce fibré.

Le chapitre 3 est le chapitre technique de ce travail: le chapitre 2 donne l'existence de fibrés stables tels que le rang et le degré vérifient $d - n = gl$; il

reste donc à traiter le cas des fibrés de rang n et de degré d tels que $d - n$ n'est pas divisible par g . Nous sommes conduits à faire des calculs de paramètres un peu lourds et complexes, mais nous n'avons pas trouvé d'échappatoire.

Notons que ce théorème montre en fait que si $\frac{d}{n} \geq 1$, $\frac{k}{n} \leq 1$ et $(\frac{d}{n}, \frac{k}{n}) \neq (a, 1)$ avec a un entier, alors $W_{n,d}^{k-1}$ est non vide.

Je remercie J.M. Drezet, I. Grzegorzczik, Y. Laszlo, P. E. Newstead et C. Sorger pour m'avoir soutenu dans mon travail.

Chapitre 1: Le problème de Brill-Noether

Dans ce chapitre nous définissons les espaces de Brill-Noether (partie A), puis nous donnons un panorama des différents résultats connus jusqu'à aujourd'hui (partie B).

A- Les espaces de Brill-Noether

Soit C une courbe algébrique lisse de genre $g \geq 2$ sur un corps algébriquement clos de caractéristique 0.

Notations: On notera $\mathcal{O} = \mathcal{O}_C$ le fibré trivial, K le fibré canonique sur C , et $L^k = L \oplus \dots \oplus L$ (resp. $L^{\otimes k} = L \otimes \dots \otimes L$) la somme (resp. le produit tensoriel) de k fois le fibré L .

Un g_d^k est un fibré vectoriel en droites de degré d possédant $k + 1$ sections globales indépendantes.

Si E est un fibré vectoriel algébrique de rang n et de degré d sur C , $\mu(E) = \frac{d}{n}$ est la *pente* de E .

Si F est un fibré vectoriel sur C , on notera n_F et d_F le rang et le degré de F . De plus, on notera $D(F)$ le dual du noyau du morphisme d'évaluation de F :

$$D(F) = \text{Ker}(ev : H^0(F) \otimes \mathcal{O} \longrightarrow F)^* .$$

On pose $h^i(E) = \dim H^i(E)$.

On rappelle qu'un fibré E sur C est dit *stable* (resp. *semi-stable*) si pour tout sous-faisceau propre F de E on a $\mu(F) < \mu(E)$ (resp. $\mu(F) \leq \mu(E)$).

Tout fibré E semi-stable admet une filtration

$$0 = E_0 \subset \dots \subset E_p = E$$

telle que E_j/E_{j-1} est stable et $\mu(E_j/E_{j-1}) = \mu(E)$ pour $0 < j \leq p$. Le fibré gradué associé $\bigoplus_j E_j/E_{j-1}$ est appelé le *gradué* de E et est noté $\text{gr } E$. La filtration sera appelée *filtration de Harder-Narasimhan*. Pour les fibrés non semi-stables on a une filtration analogue où les quotients sont supposés semi-stables de pentes strictement décroissantes. Cette filtration sera aussi appelée *filtration de Harder-Narasimhan*.

On note $U_{n,d}$ (resp. $\tilde{U}_{n,d}$) la variété de modules des fibrés vectoriels stables (resp. semi-stables) de rang n et de degré d sur C . Les points de $U_{n,d}$ sont les classes d'isomorphisme de fibrés stables tandis que les points de $\tilde{U}_{n,d}$ représentent les classes d'équivalences de fibrés semi-stables, où $E \sim F$ si et seulement si leurs gradués $\text{gr } E$ et $\text{gr } F$ sont isomorphes (cf [Se] ou [L]). On notera $[E]$ la classe d'équivalence contenant E .

Les espaces de Brill-Noether: Les espaces de Brill-Noether $W_{n,d}^{k-1}$ et $\tilde{W}_{n,d}^{k-1}$ sont définis en tant qu'ensembles par:

$$W_{n,d}^{k-1} := \{E \in U_{n,d} \mid h^0(E) \geq k\}$$

$$\tilde{W}_{n,d}^{k-1} := \{[E] \in \tilde{U}_{n,d} \mid h^0(\text{gr } E) \geq k\}$$

On donne à $W_{n,d}^{k-1}$ (resp. $\tilde{W}_{n,d}^{k-1}$) une structure de sous-schéma fermé de $U_{n,d}$ (resp. $\tilde{U}_{n,d}$) (cf [L], [A-C-G-H] ou [B-G-N]). Le problème de Brill-Noether consiste à trouver quand ces espaces sont vides, quelle est leur dimension, s'ils sont irréductibles etc...

Il résulte de la construction que si $W_{n,d}^{k-1} \neq \emptyset$ et si $W_{n,d}^{k-1} \neq U_{n,d}$, alors:

- toute composante irréductible W de $W_{n,d}^{k-1}$ vérifie

$$\dim(W) \geq \rho(g, d, n, k-1) = n^2(g-1) + 1 - k(k-d+n(g-1))$$

- son espace des points singuliers $\text{Sing } W_{n,d}^{k-1}$ vérifie

$$W_{n,d}^k \subset \text{Sing } W_{n,d}^{k-1}$$

- son espace tangent en un point E tel que $h^0(E) = k$ est le noyau du morphisme

$$p^* : \text{Ext}^1(E, E) \longrightarrow H^0(E)^* \otimes H^1(E)$$

dual du morphisme de Petri

$$p : H^0(E) \otimes H^0(E^* \otimes K) \longrightarrow H^0(\text{End}(E) \otimes K)$$

donné par la multiplication des sections.

On déduit de cette dernière propriété que si le morphisme de Petri est injectif en un tel point E , alors $W_{n,d}^{k-1}$ est lisse en ce point et que la composante irréductible contenant E est de dimension $\rho(g, d, n, k - 1)$.

On ne sait pas en général quand $W_{n,d}^{k-1}$ est non vide, irréductible et quand le morphisme de Petri est injectif. On sait encore moins de choses sur $\widetilde{W}_{n,d}^{k-1}$. En fait, $\widetilde{W}_{n,d}^{k-1}$ n'est même pas la clôture de $W_{n,d}^{k-1}$ dans $\widetilde{U}_{n,d}$ (cf [B-G-N]).

Il est coutume de poser $\mu = \frac{d}{n}$ et $\lambda = \frac{k}{n}$. L'idée est due à A. King. Ceci permet de se ramener à un problème à deux variables (μ et λ) au lieu des trois variables d , n et k et donne une certaine analogie avec le cas des fibrés en droites, comme nous le verrons par la suite. De plus, les résultats vont pouvoir s'interpréter sur des graphiques (μ en abscisse et λ en ordonnée). Si E est un fibré sur C de rang n et de degré d possédant k sections globales indépendantes, on associe à E le point de coordonnées $(\frac{d}{n}, \frac{k}{n})$, et le problème de Brill-Noether devient: en un point de coordonnées $(\frac{d}{n}, \frac{k}{n})$ existe-t-il des fibrés E de rang n , de degré d possédant k sections globales indépendantes? Et quelle est la structure de l'espace de Brill-Noether $W_{n,d}^{k-1}$ constitués par tous ces fibrés?

Les théorèmes de Riemann-Roch et de Clifford permettent de dégager une zone où le problème n'est pas trivial (cf figure a):

Théorème de Riemann-Roch: *Soit E un fibré vectoriel de degré d et de rang n sur C , alors $h^0(E) - h^1(E) = d + n(1 - g)$. D'où $h^0(E) \geq d + n(1 - g)$ ou encore $\lambda \geq \mu + 1 - g$. Donc en dessous de la droite $\lambda = \mu + 1 - g$, les espaces de Brill-Noether sont les espaces $U_{n,d}$ tout entiers.*

Théorème de Clifford: *Soit E un fibré semi-stable de rang n et de degré d sur C , tel que $0 \leq \mu(E) \leq 2g - 2$. Alors on a*

$$h^0(E) \leq n + \frac{d}{2}.$$

Or, $k \leq n + \frac{d}{2} \Leftrightarrow \lambda \leq 1 + \frac{\mu}{2}$. Donc au-dessus de la droite d'équation $\lambda = 1 + \frac{\mu}{2}$, les espaces de Brill-Noether sont vides.

Notons que l'on trouve une démonstration du théorème de Clifford par G. Xiao dans [B-G-N] hormis la démonstration des cas d'égalité que l'on peut lire dans un article de R. Re (cf [Re]). Dans cet article l'auteur précise le théorème de Clifford. Nous donnons ici une version simplifiée des différents théorèmes:

A-1 Théorème: *Soit C une courbe non-hyperelliptique et soit E un fibré vectoriel semi-stable de rang n et de degré d tel que $1 < \mu(E) < 2g - 2$. Alors on a*

$$h^0(E) \leq \frac{d + n}{2}$$

qui peut aussi s'écrire $\lambda \leq \frac{\mu+1}{2}$.

D'autre part, il est clair qu'un fibré semi-stable de degré négatif n'a pas de sections globales. Donc on peut se restreindre à $\mu > 0$ et bien sûr à $\lambda \geq 0$. De plus, si E est un fibré semi-stable de pente $\mu > 2g-2$, $H^1(E) = H^0(E^* \otimes K) = 0$ puisque la pente de $E^* \otimes K$ est strictement négative. D'après le théorème de Riemann-Roch on obtient dans ce cas $H^0(E) = d - n(g-1)$. Donc si $\mu > 2g-2$ tous les fibrés se trouvent sur la droite de Riemann-Roch $\lambda = \mu - g + 1$.

On déduit de ce qui précède une première zone délimitée par la droite de Riemann-Roch, celle de Clifford, les axes et la droite $\mu = 2g - 2$ (cf figure a). La droite de Re n'intervient que pour le cas non-hyperelliptique. En dehors de cette zone, les espaces de Brill-Noether sont soit vides soit la variété de modules $U_{n,d}$ toute entière.

Enfin, pour que $W_{n,d}^{k-1}$ soit non vide, on peut escompter que sa dimension théorique, $\rho(g, d, n, k-1) = n^2(g-1) + 1 - k(k-d+n(g-1))$, soit positive. En fait cette inégalité ne s'exprime pas qu'en fonction des variables μ et λ et dans la pratique l'inégalité $\rho(g, d, n, k-1) \geq 1$ a un rôle essentiel. Déjà elle s'exprime parfaitement avec les seules variables μ et λ :

$$\rho(g, d, n, k-1) \geq 1 \Leftrightarrow \frac{1}{n^2}(\rho(g, d, n, k-1) - 1) \geq 0$$

et

$$\frac{1}{n^2}(\rho(g, d, n, k-1) - 1) = g - 1 - \frac{k}{n} \left(\frac{k}{n} - \frac{d}{n} + g - 1 \right) = g - \lambda(\lambda - \mu + g - 1) - 1$$

Donc

$$\rho(g, d, n, k-1) \geq 1 \Leftrightarrow \rho(g, \mu, 1, \lambda-1) \geq 1$$

On appelle la courbe d'équation $\rho(g, \mu, 1, \lambda-1) = 1$, la *courbe de Brill-Noether*. Cette équation est notée dans de nombreux articles $\tilde{\rho} = 0$. L'équivalence ci-dessus montre que l'existence d'un fibré stable de pente $\frac{d}{n}$ avec k sections est liée à l'existence de fibrés en droites de "degré" μ avec λ sections (il faudrait que ces valeurs soient entières): c'est dans ce sens qu'il faut comprendre le théorème de Teixidor (théorème B-2 de ce chapitre).

Sous cette courbe les espaces de Brill-Noether sont escomptés être non vides (cf figure a).

Remarquons ici que le théorème de Riemann-Roch et la dualité de Serre impliquent une certaine symétrie dans le graphique: si E de pente μ a k sections, alors $h^0(K \otimes E^*) = h^1(E) = k + n(g-1) - d$. Donc si E correspond à un point (μ, λ) , alors $K \otimes E^*$ se place en $(2g-2-\mu, \lambda+g-1-\mu)$. Il suffit donc de traiter le cas $0 \leq \mu \leq g-1$, le reste se déduisant par symétrie.

Le problème de Brill-Noether se ramène ainsi à l'étude de la région que l'on a dégagée précédemment et il faut déterminer pour quels triplets (n, d, k) de cette région (et pour quelles courbes!) on a bien:

- $W_{n,d}^{k-1}$ (resp. $\widetilde{W}_{n,d}^{k-1}$) est non vide

- $W_{n,d}^{k-1}$ (resp. $\widetilde{W}_{n,d}^{k-1}$) est irréductible, de dimension $\rho(g, d, n, k - 1)$.
- Le lieu des points singuliers de $W_{n,d}^{k-1}$ vérifie

$$\text{Sing } W_{n,d}^{k-1} = W_{n,d}^k$$

Ceci a fait l'objet de nombreux articles et l'on possède déjà un certain nombre de résultats. Nous en donnons un panorama dans la partie suivante.

B- Panorama des résultats connus

Pour les fibrés en droites, la situation est particulièrement satisfaisante. Tous les résultats se trouvent dans [A-C-G-H] chap.V et sont dus à une liste impressionnante de mathématiciens. Les principaux résultats dont nous aurons besoin par la suite peuvent se mettre sous la forme du théorème suivant:

B-1 Théorème: *Si C est une courbe algébrique lisse de genre g et si $\rho(g, d, 1, k - 1) \geq 0$, alors $W_{1,d}^{k-1} \neq \emptyset$. Si C est une courbe algébrique lisse générique de genre g , alors*

$$W_{1,d}^{k-1} \neq \emptyset \Leftrightarrow \rho(g, d, 1, k - 1) \geq 0$$

et si $\rho(g, d, 1, k - 1) \geq 1$, on a $\dim W_{1,d}^{k-1} = \rho(g, d, 1, k - 1)$ ainsi que $\text{Sing } W_{1,d}^{k-1} = W_{1,d}^k$.

Pour les fibrés de rang supérieur, le théorème le plus général que nous connaissons est dû à M. Teixidor i Bigas (cf [Te-1] 1990). La formulation en était fort complexe et n'a été "simplifiée" que ultérieurement (Grzegorzczuk, King, Newstead...) avec l'introduction des paramètres λ et μ . Ici, nous en donnons une version plus courte, mais complète grâce à la symétrie de Riemann-Roch signalée à la fin de la partie A (cf figures b et c):

B-2 Théorème: *Soit C une courbe lisse générique.*

Si pour des valeurs entières λ_0 et μ_0 , $\rho(g, \mu_0, 1, \lambda_0 - 1) > 1$, alors pour toutes valeurs $\mu = \frac{d}{n} \geq \mu_0$ et $\lambda = \frac{k}{n} \leq \lambda_0$, $W_{n,d}^{k-1}$ (resp. $\widetilde{W}_{n,d}^{k-1}$) est non vide et possède une composante irréductible de la bonne dimension.

Si $\rho(g, \mu_0, 1, \lambda_0 - 1) = 1$, l'assertion est encore vraie, sauf pour $\mu = \mu_0$ où l'on doit se restreindre aux fibrés semi-stables.

La démonstration de Teixidor utilise des techniques de dégénération de courbes. Elle construit une variété de modules $\mathcal{U}_{n,d}$ (resp. $\widetilde{\mathcal{U}}_{n,d}$ sa compactification) de familles de fibrés vectoriels stables (resp. semi-stables) de rang n et de degré d indexée par une famille de courbes "locale": on considère une famille projective

et plate de courbes $\pi : X \rightarrow S$ avec X lisse et S le spectre d'un anneau de valuation discrète (complet ou Hensélien cf [E-H-1] p. 347 et suivantes) telle que la fibre générique soit non singulière et la fibre spéciale n'ait comme singularité que des points doubles ordinaires. Une famille de fibrés stables (resp. semi-stables) est alors un faisceau cohérent sur X tel que sa restriction à la fibre générique soit un fibré stable (resp. semi-stable) et que sa restriction à la fibre spéciale soit un faisceau de profondeur 1 b -stable (resp. b -semi-stable) (cf [Se] Chap. 7). Ceci nécessite de polariser la courbe spéciale puisqu'elle n'est pas lisse. La construction ne diffère alors en rien de celle donnée dans [Se] Chap. 8. Puis elle suppose que la fibre spéciale T est composée d'une courbe rationnelle lisse intersectée par g courbes elliptiques. La partie technique est alors de donner des conditions pour qu'un fibré b -stable sur T avec k sections se prolonge en une famille de fibrés sans perdre de sections. C'est en fait la généralisation des séries linéaires limites introduites par Eisenbud et Harris (cf [E-H-1-2-3]).

Notons que la variété de modules $\tilde{\mathcal{U}}_{n,d}$ étant projective, un fibré semi-stable \mathcal{F}_g sur la fibre générique se prolonge en un faisceau \mathcal{F} sans torsion sur X tel que sa restriction \mathcal{F}_0 à la fibre spéciale soit un faisceau de profondeur 1. Aux points singuliers, \mathcal{F}_0 peut ne pas être localement libre. Il faut alors utiliser des blowing up pour obtenir un fibré au-dessus de la courbe spéciale. Mais si l'on suppose que la courbe spéciale est lisse, \mathcal{F}_0 est immédiatement un fibré et le théorème de semi-continuité implique que $h^0(\mathcal{F}_0) \geq h^0(\mathcal{F}_g)$ (cf [H] théorème 12.8 p. 288). On en déduit le lemme suivant:

B-3 Lemme: *Soit g, n, d, k des entiers tels que, pour une courbe lisse générique de genre g , il existe un fibré semi-stable E de rang n , de degré d et possédant au moins k sections globales. Alors l'existence d'un tel E est vraie pour toutes les courbes lisses.*

Démonstration: Il faut alors comprendre le terme générique comme "il existe un ouvert V de la variété de modules de courbes \mathcal{M}_g tel que sur toute courbe lisse dans V il existe un bon fibré". Soit C une courbe lisse, alors il existe une famille projective et plate de courbes $\pi : X \rightarrow S$ comme ci-dessus telle que la fibre générique géométrique soit dans V et la fibre spéciale égale à C . Alors le fibré semi-stable E sur la fibre générique se prolonge à X pour donner un fibré semi-stable sur la courbe C et il possède au moins autant de sections globales que E . \diamond

Ce lemme est faux pour les fibrés stables: la variété $\mathcal{U}_{n,d}$ n'est pas compacte. Le lemme A-3 du chapitre 2 (cf plus loin) montre par exemple que pour C non-hyperelliptique il existe un fibré stable, noté E_K , de rang $g - 1$ de degré $2g - 2$ possédant g sections globales alors que si la courbe est hyperelliptique, il n'existe que des fibrés semi-stables non stables qui possèdent au moins g sections. Ce cas n'est pas unique.

L'existence de fibré stables dans le théorème de Teixidor, comme on vient de le voir, n'est valable que pour une courbe générique. Par contre, pour les fibrés de petite pente, de pente ≤ 1 , on trouve une description précise et valable pour toutes les courbes des espaces de Brill-Noether de fibrés stables. Le théorème suivant est démontré dans [B-G-N] (cf graphique d):

B-4 Théorème: Soit C une courbe lisse. On suppose que $0 \leq \frac{d}{n} \leq 1$.

$W_{n,d}^{k-1}$ est non vide si et seulement si

$$d > 0, n \leq d + (n - k)g \text{ et } (n, d, k) \neq (n, n, n)$$

et alors $W_{n,d}^{k-1}$ est irréductible de la bonne dimension et vérifie

$$\text{Sing } W_{n,d}^{k-1} = W_{n,d}^k$$

$\widetilde{W}_{n,d}^{k-1}$ est non vide si et seulement si

$$(d = 0 \text{ et } k \leq n) \text{ ou } (d > 0 \text{ et } n \leq d + (n - k)g)$$

et alors $\widetilde{W}_{n,d}^{k-1}$ est irréductible.

L'inégalité $n \leq d + (n - k)g$ peut s'écrire $1 \leq \mu + g(\mu - \lambda)$, ou encore $\lambda \leq 1 + \frac{1}{g}(\mu - 1)$. On notera Δ la droite d'équation $\lambda = 1 + \frac{1}{g}(\mu - 1)$. La droite Δ est en fait la tangente à la courbe de Brill-Noether $\rho(g, \mu, \lambda, k - 1) = 1$ au point $(1, 1)$. Pour $0 \leq \mu \leq 1$, les espaces de Brill-Noether correspondants à des points au-dessus de cette droite sont vides.

De plus, la clef de voûte de la démonstration est: si E est un fibré semi-stable de pente ≤ 1 avec k sections globales indépendantes, alors il peut s'écrire comme une extension de fibrés

$$0 \longrightarrow \mathcal{O}^k \longrightarrow E \longrightarrow F \longrightarrow 0 .$$

Et on vérifie que ces extensions sont paramétrées par une variété irréductible de dimension attendue (aux automorphismes près de \mathcal{O}^k). On voit que ce théorème donne une solution complète pour les courbes de genre 2 grâce à la symétrie de Riemann-Roch (cf figure e). C'est la raison pour laquelle dans les chapitres suivants, nous supposons que $g \geq 3$, même si les résultats restent le plus souvent valables dans le cas $g = 2$.

En fait, le travail qui suit a pour objet principal de montrer que l'inégalité ci-dessus est encore valable pour une pente μ comprise entre 1 et 2 (cf figure f).

Il existe de nombreux autres résultats moins généraux comme par exemple:

- Si $0 < d \leq g - 1$, $W_{n,d}^0$ est irréductible de la bonne dimension (cf [Su]) et $\text{Sing } W_{n,d}^0 = W_{n,d}^1$ (cf [L]).
- Le cas des fibrés de rang 2 est en partie traité dans [Su], [Te-2-3] et [T].
- Les variétés $W_{3,1}^{k-1}$ et $W_{3,2}^{k-1}$ sont décrites dans [B-N].

L'étude de ces cas particuliers fait apparaître que $W_{n,d}^{k-1}$ peut avoir une dimension plus grande que ρ , peut ne pas être réduit et avoir un lieu de singularité distincts de $W_{n,d}^k$, et ceci même pour C générique.

Chapitre 2: La droite Δ

Nous montrons dans ce chapitre que pour une pente μ , $1 < \mu < 2$, les variétés de Brill-Noether $\widetilde{W}_{n,d}^{k-1}$ sont vides si le point de coordonnées $(\frac{d}{n}, \frac{k}{n})$ se trouve au dessus de la droite Δ . De plus, pour tout point ayant un sens sur cette droite, nous donnons une description complète des espaces de Brill-Noether correspondants. Il résulte de la partie B que les points sur la droite Δ correspondent à des fibrés de rang n de degré $n + gl$ possédant $n + l$ sections globales, où l est un entier. Dans la partie C nous donnons une description générale des espaces de Brill-Noether dans le cas où ceux-ci sont non-vides. Il nous restera à prouver l'existence de fibrés stables correspondant à des points sous la droite Δ quand $d = n + gl + l'$ avec $0 < l' < g$. Ceci sera fait dans le chapitre 3.

La partie A traite la non-existence.

La partie B traite l'existence et décrit les espaces de Brill-Noether correspondants pour les points qui se trouvent sur la droite Δ .

La partie C précise la structure des espaces de de Brill-Noether pour $\frac{d}{n} \leq 2$.

A- Non-existence de fibrés stables.

Rappelons tout d'abord que la droite Δ a pour équation $\lambda = 1 + \frac{1}{g}(\mu - 1)$. Le théorème ci-dessous implique qu'au-dessus de cette droite les espaces de Brill-Noether sont vides.

A-1 Théorème: *Si E est un fibré semi-stable sur C de rang n et de pente μ , $0 < \mu = \frac{d}{n} < 2$, alors*

$$h^0(E) \leq n + \frac{1}{g}(d - n)$$

ce qui s'écrit aussi

$$\lambda \leq 1 + \frac{1}{g}(\mu - 1)$$

où $k = h^0(E)$ et $\lambda = \frac{k}{n}$.

Par la suite, nous aurons besoin d'un résultat plus général. L'hypothèse de la semi-stabilité du fibré E est souvent difficile à vérifier. La proposition ci-dessous permet de contourner ce problème dans certains cas. Le théorème A-1 s'en déduit immédiatement.

A-2 Proposition: *Soit E un fibré vectoriel de rang n et de degré d tel que:*

- son sous-fibré semi-stable maximal est de pente < 2 ;

$$- h^0(E^*) = 0.$$

Alors

$$h^0(E) \leq n + \frac{1}{g}(d - n) \quad (**) \quad .$$

Nous aurons besoin du lemme suivant qui est dû à Paranjape et Ramanan (cf [P-R]):

A-3 Lemme: *Soit K le fibré canonique, alors $D(K)$, le fibré vectoriel de rang $g - 1$ et de degré $2g - 2$ dual du noyau du morphisme d'évaluation $H^0(K) \otimes \mathcal{O} \rightarrow K$:*

$$0 \longrightarrow D(K)^* \longrightarrow H^0(K) \otimes \mathcal{O} \longrightarrow K \longrightarrow 0$$

est stable si la courbe C n'est pas hyperelliptique, sinon on a $D(K) \simeq L \oplus \dots \oplus L$ où L est l'unique g_2^1 de C . Dans ce cas, $D(K)$ est semi-stable, non stable.

Nous noterons E_K , le fibré $D(K)$. Enfin, pour les fibrés de pente 2, on a le corollaire suivant de la proposition A-2:

A-4 Corollaire: *Si E est stable de pente 2, l'inégalité (**) est toujours valable pour $E \not\cong E_K$ et C non hyperelliptique ou $E \not\cong L$ et C hyperelliptique de g_2^1 isomorphe à L .*

Démonstration de la proposition A-2 et de son corollaire: Considérons la suite exacte

$$0 \longrightarrow E_K^* \longrightarrow H^0(K) \otimes \mathcal{O} \longrightarrow K \longrightarrow 0$$

On tensorise cette suite par un fibré E

$$0 \longrightarrow E_K^* \otimes E \longrightarrow H^0(K) \otimes E \longrightarrow K \otimes E \longrightarrow 0$$

pour obtenir une suite exacte longue:

$$\begin{aligned} 0 &\longrightarrow H^0(E \otimes E_K^*) \longrightarrow H^0(E) \otimes H^0(K) \longrightarrow H^0(E \otimes K) \\ &\longrightarrow H^1(E \otimes E_K^*) \longrightarrow H^1(E) \otimes H^0(K) \longrightarrow H^1(E \otimes K) \longrightarrow 0 \end{aligned}$$

Supposons que $h^0(E \otimes E_K^*) = 0$ et que $h^1(E \otimes K) = 0$. Alors d'une part, on a $h^0(E \otimes K) \geq gk$ avec $h^0(E) = k$ et d'autre part, d'après le théorème de Riemann-Roch, on a

$$\begin{aligned} h^0(E \otimes K) &= h^1(E \otimes K) + n(2g - 2) + d - n(g - 1) \\ &= ng - n + d \end{aligned}$$

Donc,

$$kg \leq ng - n + d$$

d'où

$$k \leq n + \frac{d-n}{g}$$

Ce qui donne en divisant par n et en posant $\mu = \frac{d}{n}$ et $\lambda = \frac{k}{n}$:

$$\lambda \leq 1 + \frac{1}{g}(\mu - 1)$$

Ce que nous voulions.

Il reste donc à montrer que dans les conditions de la proposition on a bien $h^0(E \otimes E_K^*) = h^1(E \otimes K) = 0$.

Si le sous-fibré maximal de E est de pente < 2 , alors il n'existe pas de morphisme non nul de E_K semi-stable de pente 2 dans E , donc $h^0(E_K^* \otimes E) = 0$. Si E est stable de pente 2, le même raisonnement est valable dans les conditions du corollaire.

D'après le théorème de dualité de Serre, on a: $h^1(E \otimes K) = h^0(E^*)$. Par hypothèse $h^0(E^*) = 0$, ce qui termine la démonstration. \diamond

A-5 Remarque: Supposons $d > 0$. On a montré en fait qu'en un point $(\frac{d}{n}, \frac{k}{n})$ au-dessus de la droite Δ , il ne peut exister de fibré semi-stable E de rang n , de degré d et possédant k sections indépendantes que si $h^0(E \otimes E_K^*) \neq 0$ et que $h^0(E \otimes E_K^*)$ mesure en fait le nombre maximal de sections supplémentaires possibles.

Pour majorer le nombre de sections globales indépendantes de E , on voit qu'il sera intéressant de majorer $h^0(E \otimes E_K^*)$. Dans ce but, on donne pour E_K une sorte de lemme de dualité de Serre

A-6 Lemme: Soit E un fibré vectoriel, alors $H^0(E \otimes E_K^*) \simeq H^1(D(E))^*$.

Démonstration: On a vu que $H^0(E \otimes E_K^*)$ est le noyau du morphisme $H^0(E) \otimes H^0(K) \rightarrow H^0(E \otimes K)$ donné par la multiplication des sections. Or, la suite exacte

$$0 \longrightarrow D(E)^* \otimes K \longrightarrow H^0(E) \otimes K \xrightarrow{ev \otimes Id} E \otimes K$$

montre que ce noyau est encore isomorphe à $H^0(D(E)^* \otimes K)$, ce qui termine la démonstration du lemme. \diamond

B- Les points de la droite Δ

Un fibré vectoriel stable (resp. semi-stable) E de pente μ , $1 < \mu < 2$ correspondant à un point sur la droite Δ doit vérifier

$$kg = d + n(g - 1)$$

On posera avantageusement $k = n + l$. Alors

$$kg = d + n(g - 1) \Leftrightarrow g(n + l) = d + n(g - 1) \Leftrightarrow d = n + gl$$

De plus, $1 < \mu(E) = \frac{d}{n} = 1 + \frac{gl}{n} < 2$ implique

$$0 < \frac{gl}{n} < 1 ,$$

ce qui montre que $l > 0$ et $n > gl$.

Les espaces de Brill-Noether que l'on se propose de décrire ici sont donc $W_{n,n+gl}^{n+l-1}$ (resp. $\widetilde{W}_{n,n+gl}^{n+l-1}$), pour $l > 0$ et $n > gl$ (cf figure f).

Rappelons que si F un fibré vectoriel, alors on note

$$D(F) = \text{Ker}(ev : \mathcal{O} \otimes H^0(F) \longrightarrow F)^* .$$

Le théorème suivant donne la description annoncée:

B-1 Théorème: *Soit n, l des entiers, $l > 0$ et $n > gl$. Alors on a des isomorphismes*

$$\begin{aligned} U_{l,n+gl} &\xrightarrow{\sim} W_{n,n+gl}^{n+l-1} \\ F &\mapsto D(F) \end{aligned}$$

et

$$\begin{aligned} \widetilde{U}_{l,n+gl} &\xrightarrow{\sim} \widetilde{W}_{n,n+gl}^{n+l-1} \\ F &\mapsto D(F) \end{aligned}$$

Démonstration: On donnera une démonstration du théorème essentiellement pour les fibrés stables. Le cas semi-stable est identique à quelques détails près, que nous nous efforcerons d'indiquer.

Soit F un fibré stable (resp. semi-stable) de degré $d = n + gl$ et de rang l . On a $\frac{d}{l} = \frac{n+gl}{l} > 2g$, puisque par hypothèse $n > gl$, F est engendré par ses sections, $h^1(F) = 0$ et $h^0(F) = d - l(g - 1) = l + n$. On pose $E \simeq D(F)$. On a une suite exacte

$$0 \longrightarrow E^* \longrightarrow \mathcal{O} \otimes H^0(F) \longrightarrow F \longrightarrow 0 ,$$

et E est un fibré vectoriel de rang n , de degré d tel que $h^0(E) \geq n + l$ et $h^0(E^*) = 0$. De plus, comme $n > lg$, $\mu(E) = \frac{d}{n} = 1 + \frac{gl}{n} < 2$. L'énoncé du théorème est donc cohérent. On va d'abord montrer que E est stable (resp. semi-stable), puis on définit le morphisme $U_{l,n+gl} \rightarrow W_{n,n+gl}^{n+l-1}$ (resp. $\widetilde{U}_{l,n+gl} \rightarrow \widetilde{W}_{n,n+gl}^{n+l-1}$) et pour terminer on montre que c'est un isomorphisme (la stabilité de E a déjà été démontrée par David Butler (cf [B])).

Stabilité de E: On se restreint maintenant au cas F stable. Supposons que E n'est pas stable. Soit G un fibré quotient de E stable de plus petite pente, on a une suite exacte

$$0 \longrightarrow H \longrightarrow E \longrightarrow G \longrightarrow 0$$

où H est le noyau. Par définition, on sait que $\mu(G) \leq \mu(E)$ et donc $\mu(H) \geq \mu(E)$.

D'après la proposition A-2, on sait que

$$h^0(G) \leq n_G + \frac{1}{g}(d_G - n_G) .$$

Le fibré G est engendré par ses sections, on peut poser $h^0(G) = n_G + l_G$, où l_G est un entier strictement positif. L'inégalité précédente s'écrit

$$l_G \leq \frac{1}{g}(d_G - n_G)$$

et donc

$$d_G \geq n_G + gl_G .$$

Or $d_G = d - d_H$ et $n_G = n - n_H$. L'inégalité devient

$$d - d_H \geq n - n_H + gl_G$$

et avec $d = n + gl$

$$g(l - l_G) + n_H \geq d_H$$

\Leftrightarrow

$$\frac{g}{n_H}(l - l_G) + 1 \geq \frac{d_H}{n_H} . \quad (*)$$

Par hypothèse $\mu(H) \geq \mu(E) = 1 + \frac{gl}{n} > 1$, donc $l > l_G$.
D'autre part le diagramme

$$\begin{array}{ccccccc}
 & & & & & 0 & \\
 & & & & & \downarrow & \\
 & & & & & H & \\
 & & & & & \downarrow & \\
 0 & \longrightarrow & F^* & \longrightarrow & \mathcal{O}^{n+l} \simeq H^0(F)^* \otimes \mathcal{O} & \longrightarrow & E & \longrightarrow & 0 \\
 & & & & & \downarrow & \\
 & & & & & G & \\
 & & & & & \downarrow & \\
 & & & & & 0 &
 \end{array}$$

peut se compléter en un diagramme commutatif de la manière suivante: on a un morphisme $H^0(\mathcal{O}^{n+l}) \rightarrow H^0(G)$ qui est la composée de $H^0(\mathcal{O}^{n+l}) \hookrightarrow H^0(E)$ et de $H^0(E) \rightarrow H^0(G)$. Soit V l'image de ce morphisme; comme \mathcal{O}^{n+l} engendre E , on en déduit que V engendre G et donc que l'on peut écrire $\dim V = n_G + l'_G$ avec $l'_G > 0$. De plus $V \hookrightarrow H^0(G)$, donc $l'_G \leq l_G < l$. Et le noyau du morphisme surjectif $\mathcal{O}^{n+l} \rightarrow V \otimes \mathcal{O}$ est un fibré trivial de la forme $\mathcal{O}^{n_H+l'_H}$, c'est un sous-espace de sections de $H^0(H)$. Ce qui donne le diagramme:

$$\begin{array}{ccccccc}
& & 0 & & 0 & & 0 \\
& & \downarrow & & \downarrow & & \downarrow \\
0 & \longrightarrow & M^* & \longrightarrow & \mathcal{O}^{n_H+l'_H} & \longrightarrow & H \\
& & \downarrow & & \downarrow & & \downarrow \\
0 & \longrightarrow & F^* & \longrightarrow & \mathcal{O}^{n+l} & \longrightarrow & E \longrightarrow 0 \\
& & \downarrow & & \downarrow & & \downarrow \\
0 & \longrightarrow & N^* & \longrightarrow & \mathcal{O} \otimes V & \longrightarrow & G \longrightarrow 0 \\
& & & & \downarrow & & \downarrow \\
& & & & 0 & & 0
\end{array}$$

où M^* et N^* sont les noyaux des morphismes d'évaluation correspondant aux espaces de sections. On a $l = l'_H + l'_G$, et comme $l_G \geq l'_G$, on obtient $l'_H \geq l - l_G > 0$.

De plus, $d_M \leq d_H$: en effet, $d_H - d_M$ est le degré du coker de $\mathcal{O}^{n_H+l'_H} \rightarrow H$ et H a pour filtration de Harder-Narasimhan $H_0 \subset \dots \subset H_j = H$ et $\mu(H_j/H_{j-1}) \geq \mu(G)$; le lemme ci-dessous permet de conclure (la démonstration en est triviale):

B-2 Lemme: *Soit E un fibré vectoriel de filtration de Harder-Narasimhan $0 = E_0 \subset \dots \subset E_p = E$. Alors tout fibré quotient de E est de pente $\geq \mu(E_p/E_{p-1})$.*

Retournons au diagramme: F^* étant stable, on doit alors avoir l'inégalité $\mu(F) = \frac{d}{l} < \mu(M) = \frac{d_M}{n_M}$ (notons que $M \not\cong 0$ car $l'_H > 0$ et $M \not\cong F$ car N est non nul). Or $d_M \leq d_H$ et $n_M \geq l'_H$, donc $\frac{d}{l} < \mu(M) \leq \frac{d_H}{l'_H}$. D'où, avec $l'_H \geq (l - l_G)$ (cf plus haut),

$$(l - l_G) \leq l'_H < d_H \frac{l}{d}$$

Si l'on introduit cette inégalité dans l'inégalité (*), on obtient

$$\frac{gl}{d} \frac{d_H}{n_H} + 1 > \frac{d_H}{n_H}$$

\Leftrightarrow

$$1 > \left(1 - \frac{gl}{d}\right) \frac{d_H}{n_H}$$

Or $d = n + gl$, donc $1 - \frac{gl}{d} = \frac{n}{d}$ et l'inégalité ci-dessus devient

$$\frac{d}{n} > \frac{d_H}{n_H}$$

Ceci contredit l'hypothèse $\mu(H) \geq \mu(E)$. Donc E est stable.

Si F est semi-stable le seul changement qui intervient remplace la dernière inégalité par:

$$\frac{d}{n} \geq \frac{d_H}{n_H}$$

et E est alors semi-stable.

Définition du morphisme $U_{1,n+gl} \rightarrow W_{n,n+gl}^{n+1-1}$: On considère la variété R^s qui paramètre une famille \mathcal{E} de fibrés de rang l et de degré $n + gl$, et qui sert à construire la variété de modules $U_{l,n+gl}$ (cf [LP] ou [Se]): le morphisme déduit de \mathcal{E}

$$R^s \longrightarrow U_{l,n+gl}$$

est un bon quotient par un groupe du type $\mathrm{PGL}(N)$. Soit $\pi : R^s \times C \rightarrow R^s$ la projection. Alors $\pi_* \mathcal{E}$ est un fibré vectoriel de rang $n + l$, et le morphisme canonique sur $R^s \times C$

$$\pi^* \pi_* \mathcal{E} \xrightarrow{\psi} \mathcal{E}$$

est surjectif. On pose

$$\mathcal{F} = \mathrm{Ker}(\psi)^* .$$

C'est une famille de fibrés stables de rang n et de degré $n + gl$, paramétrée par R^s . On en déduit un morphisme

$$R^s \longrightarrow U_{n,n+gl}$$

qui est en fait dans $W_{n,n+gl}^{n+l-1}$. Ce morphisme étant $\mathrm{PGL}(N)$ invariant, on en déduit un morphisme (cf [M-F]):

$$U_{l,d} \rightarrow W_{n,d}^{n+l-1}$$

Le même raisonnement est valable pour les fibrés semi-stables et un raisonnement analogue permettra de définir le morphisme inverse.

Le morphisme $U_{1,n+gl} \rightarrow W_{n,n+gl}^{n+1-1}$ est un isomorphisme: Pour $n > gl$, on a donc par définition:

$$U_{l,n+gl} \longrightarrow W_{n,n+gl}^{n+l-1}$$

$$F \mapsto D(F)$$

Ce morphisme est injectif car si l'on a deux suites exactes

$$0 \rightarrow E^* \rightarrow \mathcal{O} \otimes H^0(F) \rightarrow F \rightarrow 0$$

et

$$0 \rightarrow E^* \rightarrow \mathcal{O} \otimes H^0(F') \rightarrow F' \rightarrow 0$$

alors $h^0(E) = n + l$ et le dual du noyau du morphisme d'évaluation

$$\mathcal{O} \otimes H^0(E) \rightarrow E \rightarrow 0$$

est isomorphe à F et à F' , donc $F \simeq F'$.

Pour montrer que ce morphisme est un isomorphisme, il faut montrer que, pour tout E dans $W_{n,n+gl}^{n+l-1}$,

- E est engendré par ses sections,
- Le noyau F^* du morphisme d'évaluation $\mathcal{O}^{n+l} \rightarrow E$ est stable.

En utilisant les propriétés universelles des différents schémas, le morphisme réciproque est alors donné par

$$E \mapsto D(E)$$

et il en est de même pour les fibrés semi-stables.

Soit donc $E \in W_{n,n+gl}^{n+l-1}$ et supposons que E n'est pas engendré par ses sections. Soit Im le faisceau image du morphisme d'évaluation

$$\mathcal{O} \otimes H^0(E) \longrightarrow E$$

On pose $Im \simeq Im' \oplus \mathcal{O}^s$ où $h^0(Im'^*) = 0$ (comme Im est engendré par ses sections, c'est possible). On a $h^0(Im') \geq n_{Im'} + l$.

De plus, tout sous-fibré de Im' est un sous-faisceau de E et donc de pente $< \mu(E) < 2$. On est donc dans les conditions de la proposition A-2, il en résulte que:

$$h^0(Im') \leq n_{Im'} + \frac{1}{g}(d_{Im'} - n_{Im'})$$

Comme $h^0(Im') \geq n_{Im'} + l$, on obtient

$$n_{Im'} + l \leq n_{Im'} + \frac{1}{g}(d_{Im'} - n_{Im'})$$

dont on déduit sans difficulté

$$\mu(Im') \geq 1 + \frac{gl}{n_{Im'}} \geq 1 + \frac{gl}{n_E} = \mu(E)$$

et ceci contredit la stabilité de E . Donc E est engendré par ses sections. Pour E semi-stable, on déduit $n_{Im'} = n$, donc $d_{Im'} = d$, d'où $Im' \simeq E$.

Il reste à montrer que le fibré $F = D(E)$ tel que

$$0 \rightarrow F^* \rightarrow \mathcal{O} \otimes H^0(E) \rightarrow E \rightarrow 0$$

est un fibré stable.

On montre tout d'abord que $h^0(F) = n + l$: d'après le lemme A-6 on sait que $h^1(F) = h^0(E \otimes E_K^*) = 0$ et donc $h^0(F) = d - l(g - 1) = n + l$.

Supposons maintenant que F n'est pas stable. On a alors une suite exacte

$$0 \longrightarrow N \longrightarrow F \longrightarrow M \longrightarrow 0$$

telle que N est semi-stable et $\frac{d_N}{n_N} = \mu(N) \geq \mu(F) = \frac{d}{l} > 2g$. N est engendré par ses sections et $h^1(N) = 0$. On en déduit que

$$H^0(F) \simeq H^0(N) \oplus H^0(M)$$

et donc un diagramme commutatif

$$\begin{array}{ccccccc} & & 0 & & 0 & & 0 \\ & & \downarrow & & \downarrow & & \downarrow \\ 0 & \longrightarrow & G^* & \longrightarrow & \mathcal{O} \otimes H^0(N) & \longrightarrow & N \longrightarrow 0 \\ & & \downarrow & & \downarrow & & \downarrow \\ 0 & \longrightarrow & E^* & \longrightarrow & \mathcal{O} \otimes H^0(F) & \longrightarrow & F \longrightarrow 0 \\ & & \downarrow & & \downarrow & & \downarrow \\ 0 & \longrightarrow & H^* & \longrightarrow & \mathcal{O} \otimes H^0(M) & \longrightarrow & M \longrightarrow 0 \\ & & \downarrow & & \downarrow & & \downarrow \\ & & 0 & & 0 & & 0 \end{array}$$

avec H^* et G^* les noyaux des morphismes d'évaluation. Le rang de G , n_G , vérifie $n_G = h^0(N) - n_N$. Mais on a vu que $h^1(N) = 0$, donc $h^0(N) = d_N - n_N(g - 1)$. Il en découle que $n_G = d_N - gn_N$.

Comme E est stable, on doit avoir $\mu(G) > \mu(E)$, ce qui s'écrit

$$\frac{d_N}{d_N - gn_N} > \frac{d}{n}$$

Or $n = d - lg$, l'inégalité précédente est équivalente à

$$1 + \frac{gn_N}{d_N - n_N g} > 1 + \frac{gl}{d - lg} \Leftrightarrow \frac{n_N}{d_N - n_N g} > \frac{l}{d - lg}$$

\Leftrightarrow

$$\frac{dn_N - ld_N}{(d_N - n_N g)(d - lg)} > 0 \Leftrightarrow dn_N - ld_N > 0$$

ce qui contredit l'hypothèse $\mu(N) = \frac{d_N}{n_N} \geq \frac{d}{l}$. Donc F est stable.

Pour E semi-stable, on obtient $dn_N - ld_N \geq 0$, mais l'hypothèse de non-semi-stabilité est $\frac{d_N}{n_N} > \frac{d}{l}$, ce qui est encore contradictoire.

Le théorème B-1 est entièrement démontré.

On a considéré que les espaces $W_{n,d}^{n+l}$ étaient réduits. En fait, c'est le cas, car on vérifie facilement (cf partie C) que le morphisme de Petri en tout point de $W_{n,d}^{n+l}$ est injectif. \diamond

C- Structure de $W_{n,d}^{k-1}$ pour $\frac{d}{n} \leq 2$

Nous précisons la structure des espaces de Brill-Noether pour les fibrés stables de pente ≤ 2 :

C-1 Proposition: *Soit d et n deux entiers tels que $\frac{d}{n} \leq 2$. Pour tout entier k , si $W_{n,d}^{k-1}$ est non-vide, alors toutes les composantes irréductibles de $W_{n,d}^{k-1}$ sont de dimension $\rho(g, n, d, k-1)$ ainsi que*

$$\text{Sing } W_{n,d}^{k-1} = W_{n,d}^k$$

sauf dans le cas suivant: si la courbe est hyperelliptique, $d = 2n = 2$ et $k = 2$. Dans ce cas $W_{1,2}^1 = \{L\}$, l'unique g_2^1 de la courbe.

Démonstration: Soit E un fibré stable de rang n , de degré d et de pente $\mu(E) \leq 2$. On suppose que si la courbe est hyperelliptique alors $E \neq L$, l'unique g_2^1 de la courbe. Il faut montrer que le morphisme de Petri

$$p : H^0(E) \otimes H^0(E^* \otimes K) \rightarrow H^0(E \otimes E^* \otimes K)$$

est injectif.

On a une suite exacte

$$0 \longrightarrow D(E)^* \longrightarrow H^0(E) \otimes \mathcal{O} \longrightarrow E \longrightarrow N \longrightarrow 0$$

où N est le faisceau conoyau. On tensorise cette suite exacte par $E^* \otimes K$

$$\begin{aligned} 0 &\longrightarrow D(E)^* \otimes E^* \otimes K \longrightarrow H^0(E) \otimes E^* \otimes K \\ &\longrightarrow E \otimes E^* \otimes K \longrightarrow N \otimes E^* \otimes K \longrightarrow 0 \end{aligned}$$

et en globalisant on obtient que le noyau du morphisme de Petri est isomorphe à $H^0(D(E)^* \otimes E^* \otimes K)$, ou encore d'après le théorème de dualité de Serre, à $H^1(E \otimes D(E))^*$. On veut donc montrer que $h^1(E \otimes D(E)) = 0$. Si $E \simeq E_K$, c'est clair. Supposons maintenant que $E \not\simeq E_K$.

Pour terminer la démonstration de la proposition, on montre que le gradué de $D(E)$ n'est constitué que de fibrés semi-stables de pente $\geq 2g$; c'est ce que fait le lemme ci-dessous. \diamond

C-2 Lemme: *Soit E un fibré stable de pente $\mu(E) \leq 2$. Le gradué de $D(E)$ contient un fibré de pente $< 2g$ si et seulement si l'on est dans l'un des cas suivant:*

- $E \simeq E_K$ (la courbe est non-hyperelliptique);
- $E \simeq L$ et la courbe est hyperelliptique de $g_2^1 L$.

Démonstration du lemme: on suppose que $E \not\simeq E_K$ (C non-hyperelliptique) et $E \not\simeq L$ (C hyperelliptique). Soit Im , le faisceau image du morphisme d'évaluation de E . On peut écrire $Im \simeq Im' \oplus \mathcal{O}^a$, avec $h^0(Im'^*) = 0$. On a alors $D(E) \simeq D(Im')$ et donc une suite exacte

$$0 \longrightarrow D(E)^* \longrightarrow H^0(Im') \otimes \mathcal{O} \longrightarrow Im' \longrightarrow 0$$

que l'on dualise

$$0 \longrightarrow Im'^* \longrightarrow H^0(Im')^* \otimes \mathcal{O} \longrightarrow D(E) \longrightarrow 0 .$$

Cette dernière suite exacte s'imbrique dans un diagramme commutatif

$$\begin{array}{ccccccc}
& & 0 & & 0 & & 0 \\
& & \downarrow & & \downarrow & & \downarrow \\
0 & \longrightarrow & Im'^* & \longrightarrow & H^0(Im')^* \otimes \mathcal{O} & \longrightarrow & D(E) \longrightarrow 0 \\
& & \downarrow & & \downarrow & & \downarrow \\
0 & \longrightarrow & D(D(E))^* & \longrightarrow & H^0(D(E)) \otimes \mathcal{O} & \longrightarrow & D(E) \longrightarrow 0 \\
& & \downarrow & & \downarrow & & \downarrow \\
0 & \longrightarrow & \mathcal{O}^b & \longrightarrow & \mathcal{O}^b & \longrightarrow & 0 \\
& & \downarrow & & \downarrow & & \\
& & 0 & & 0 & &
\end{array}$$

où \mathcal{O}^b est le conoyau du morphisme $H^0(Im')^* \otimes \mathcal{O} \hookrightarrow H^0(D(E)) \otimes \mathcal{O}$. On dualise la suite exacte verticale de gauche:

$$0 \longrightarrow \mathcal{O}^b \longrightarrow D(D(E)) \longrightarrow Im' \longrightarrow 0$$

Notons que Im' est un sous-faisceau de E engendré par ses sections tel que $h^0(Im'^*) = 0$. Donc soit le gradué de Im' n'est composé que de fibrés semi-stables de pente strictement comprise entre 1 et 2 soit $Im' \simeq E$. Dans les deux cas tous les sous-faisceaux propres de Im' sont de pente < 2 . La suite exacte ci-dessus montre qu'il en est de même pour $D(D(E))$. D'autre part la proposition A-2 du chapitre 2 implique que $D(E) \simeq D(Im')$ est de pente $\geq 2g$.

Supposons maintenant que dans le gradué de $D(E)$, $\text{Grad } D(E) = \bigoplus_{1 \leq i \leq p} Q_i$, on ait des fibrés Q_j de pente $< 2g$. On note j_0 le plus petit des j correspondant. Comme le fibré $D(E)$ est de pente $\geq 2g$, j_0 est supérieur ou égal à 2. $D(E)$ s'inscrit dans une suite exacte

$$0 \longrightarrow H \longrightarrow D(E) \longrightarrow G \longrightarrow 0$$

où $\text{Grad } H = \bigoplus_{1 \leq i < j_0} Q_i$ et $\text{Grad } G = \bigoplus_{j_0 \leq i \leq p} Q_i$. Le fibré H est engendré par ses sections et $h^1(H) = 0$, on obtient alors un isomorphisme

$$H^0(D(E)) \simeq H^0(H) \oplus H^0(G)$$

et donc un diagramme commutatif

$$\begin{array}{ccccccc}
& & 0 & & 0 & & 0 \\
& & \downarrow & & \downarrow & & \downarrow \\
0 & \longrightarrow & D(H)^* & \longrightarrow & H^0(H) \otimes \mathcal{O} & \longrightarrow & H \longrightarrow 0 \\
& & \downarrow & & \downarrow & & \downarrow \\
0 & \longrightarrow & D(D(E))^* & \longrightarrow & H^0(D(E)) \otimes \mathcal{O} & \longrightarrow & D(E) \longrightarrow 0 \\
& & \downarrow & & \downarrow & & \downarrow \\
0 & \longrightarrow & D(G)^* & \longrightarrow & H^0(G) \otimes \mathcal{O} & \longrightarrow & G \longrightarrow 0 \\
& & \downarrow & & \downarrow & & \downarrow \\
& & 0 & & 0 & & 0
\end{array}$$

dont on déduit que $D(G)$ est un sous-fibré propre de $D(D(E))$. Le théorème de Clifford implique que

$$h^0(G) \leq n_G + \frac{d_G}{2}$$

et donc que

$$\mu(D(G)) \geq d_G / \frac{d_G}{2} = 2 ,$$

mais tous les sous-faisceaux propres de $D(D(E))$ sont de pente < 2 . Ce qui termine la démonstration du lemme. \diamond

C-3 Remarque: On devrait en fait pouvoir prouver que si ces espaces de Brill-Noether sont non-vides, alors ils sont irréductibles.

Chapitre 3: Fibrés vectoriels de pente < 2

Nous avons vu que au-dessus de la droite Δ , il n'existe pas de fibrés stables de pente < 2 (Chap. 2 théorème A-1). De plus, pour une pente $1 < \mu < 2$, un fibré stable correspondant à un point sur la droite Δ est de rang n et de degré $d = n + gl$ et possède $n + l$ sections, pour un entier l . Le théorème B-1 du Chap.2 montre qu'il existe de tels fibrés. Il est maintenant naturel de se poser le problème de l'existence pour des fibrés stables de rang n et de degré $d = n + gl + l'$ avec $0 < l' < g$ possédant k sections globales indépendantes. Ces fibrés ont en fait au plus $n + l$ sections. Nous procéderons en deux étapes: on traite d'abord le cas où $l = 0$, c'est-à-dire $d < n + g$ (partie A), puis le cas où $l > 0$ (partie B). On aura ainsi traité tous les cas possibles pour $1 < \mu < 2$.

A- Fibrés vectoriels avec peu de sections.

Dans cette partie, on considère que $d < n + g$ et $1 < \frac{d}{n} < 2$. On montre alors qu'il existe des fibrés stables de rang n , de degré d possédant n sections globales et on donne une description des espaces de Brill-Noether associés:

A-1 Théorème: *Si n , d et k vérifient $n < d < n + g$, $\frac{d}{n} < 2$ et $k \leq n$, alors $W_{n,d}^{k-1}$ est irréductible de la bonne dimension et le lieu des singularités est celui attendu. De plus, $W_{n,d}^{k-1}$ est dense dans $\widetilde{W}_{n,d}^{k-1}$.*

Démonstration: La démonstration reprend exactement les mêmes arguments que ceux donnés dans [B-G-N]. On va montrer que si E est un fibré semi-stable de rang n et de degré d , n et d comme ci-dessus et si $h^0(E) = k$, alors on a une suite exacte de faisceaux:

$$0 \longrightarrow \mathcal{O}^k \longrightarrow E \longrightarrow S \longrightarrow 0$$

où S peut avoir de la torsion. Ensuite, le problème se ramène à compter ces extensions. Le lemme ci-dessous montre l'existence de telles suites exactes:

A-2 Lemme: Soit E un fibré vectoriel semi-stable de rang n , de degré d tel que $d < n + g$ et $\frac{d}{n} < 2$. Soit $V \subset H^0(E)$, un espace vectoriel de sections globales. Alors on a un morphisme injectif de faisceaux:

$$V \otimes \mathcal{O} \hookrightarrow E$$

Démonstration du lemme: C'est une conséquence direct du théorème A-1 du chapitre 2. En effet, si M , le faisceau image du morphisme $V \otimes \mathcal{O} \rightarrow E$, n'est pas le faisceau trivial, alors il admet un sous-faisceau M' tel que $h^0(M'^*) = 0$ et comme M' est un sous-faisceau de E , on a $\mu(M') = \frac{d'}{n'} < 2$. Le théorème A-1 du chap. 1 dit alors que

$$h^0(M') \leq n' + \frac{1}{g}(d' - n')$$

Par hypothèse $h^0(M') > n'$, donc $\frac{1}{g}(d' - n') \geq 1$, mais alors $\frac{d'}{n'} \geq 1 + \frac{g}{n'}$ et ceci contredit la semi-stabilité de E : $\mu(M') \geq 1 + \frac{g}{n'} \geq 1 + \frac{g}{n} > \mu(E)$. Ce qui termine la démonstration du lemme. \diamond

Notons que si S est un faisceau cohérent, comme on est sur une courbe, S peut s'écrire $S \simeq G \oplus T$ où G est un fibré vectoriel et T est un faisceau de torsion (c'est le théorème de décomposition d'un module de type fini au-dessus d'un idéal principal).

On va donc étudier les extensions

$$0 \longrightarrow \mathcal{O}^k \longrightarrow E \longrightarrow G \oplus T \longrightarrow 0$$

où:

- E est un fibré stable de rang n et de degré d .
- G est un fibré vectoriel avec $h^0(G^*) = 0$ car G est un quotient de E .
- T est un faisceau de points de degré δ .

Ces extensions sont paramétrées par $\text{Ext}^1(G \oplus T, \mathcal{O}^k) \simeq k \cdot \text{Ext}^1(G \oplus T, \mathcal{O})$. Pour calculer la dimension de $\text{Ext}^1(G \oplus T, \mathcal{O})$, on utilise la dualité de Serre

$$\text{Ext}^1(G \oplus T, \mathcal{O}) \simeq H^0((G \oplus T) \otimes K)^* \simeq H^1(G^*) \oplus H^0(T)^*$$

Comme par hypothèse $h^0(G^*) = 0$, et que $h^0(T) = \delta$, on en déduit que

$$\dim \text{Ext}^1(G \oplus T, \mathcal{O}) = d + (n - k)(g - 1) .$$

Donc ces extensions sont paramétrées par des k -uplets (e_1, \dots, e_k) , $e_i \in \text{Ext}^1(G \oplus T, \mathcal{O})$ et deux de ces extensions donnent deux fibrés isomorphes si les k -uplets correspondants sont dans la même orbite par l'action naturelle du groupe $\text{GL}(k)$. On en déduit que si (e_1, \dots, e_k) sont linéairement dépendants,

on peut supposer que $e_k = 0$, mais alors \mathcal{O} est un facteur direct de E , ce qui contredit la stabilité de E . On remarque que (e_1, \dots, e_k) sont nécessairement dépendants si $k > d + (n - k)(g - 1)$ ou encore si $n > d + (n - k)g$. Ce qui ne peut arriver que si $n > d$, c.-à-d. si $\mu < 1$, cas traité dans [B-G-N]. Les extensions telles que E n'admettent pas \mathcal{O} comme quotient, sont donc classifiées par la grassmanienne des sous-espaces vectoriels de dimension k de $\text{Ext}^1(G \oplus T, \mathcal{O})$. On a :

$$\dim\left(\text{Grass}_k(\text{Ext}^1(G \oplus T, \mathcal{O}))\right) = k(d + (n - k)g - n) .$$

Nous utiliserons cette grassmanienne pour la question de l'existence, mais pour le calcul de dimension, il faut diminuer le nombre de paramètres dont dépendent ces extensions. Il est alors nécessaire de préciser l'action du groupe $\text{Aut}(\mathcal{O}^k) \times \text{Aut}(G \oplus T)$ sur $\text{Ext}^1(G \oplus T, \mathcal{O}^k)$:

Soit

$$0 \longrightarrow \mathcal{O}^k \longrightarrow E \longrightarrow G \oplus T \longrightarrow 0$$

une extension avec E stable. Alors le stabilisateur de cette action en ce point est l'ensemble $\{(\lambda \text{Id}_{\mathcal{O}^k}, 1/\lambda \text{Id}_{G \oplus T}) \mid \lambda \in \mathbb{C}\}$, donc il est de dimension 1. En effet, soit $(l, h) \in \text{Aut}(\mathcal{O}^k) \times \text{Aut}(G \oplus T)$. L'action de (l, h) sur l'extension

$$0 \longrightarrow \mathcal{O}^k \xrightarrow{i} E \xrightarrow{j} G \oplus T \longrightarrow 0$$

donne l'extension

$$0 \longrightarrow \mathcal{O}^k \xrightarrow{i \circ l} E \xrightarrow{j \circ h} G \oplus T \longrightarrow 0 .$$

Ces deux extensions représentent le même élément dans $\text{Ext}^1(G \oplus T, \mathcal{O}^k)$ si et seulement si il existe un diagramme commutatif:

$$\begin{array}{ccccccccc} 0 & \longrightarrow & \mathcal{O}^k & \xrightarrow{i} & E & \xrightarrow{j} & G \oplus T & \longrightarrow & 0 \\ & & \parallel & & \downarrow \varphi & & \parallel & & \\ 0 & \longrightarrow & \mathcal{O}^k & \xrightarrow{i \circ l} & E & \xrightarrow{j \circ h} & G \oplus T & \longrightarrow & 0 \end{array}$$

φ étant un automorphisme de E , donc $\varphi = \lambda \text{Id}_E$ par hypothèse. Au niveau des fibres en un point x , on obtient le diagramme commutatif de \mathcal{O}_x -modules:

$$\begin{array}{ccccccccc} 0 & \longrightarrow & \mathcal{O}_x^k & \xrightarrow{i_x} & E_x & \xrightarrow{j_x} & G_x \oplus T_x & \longrightarrow & 0 \\ & & \parallel & & \downarrow \lambda \cdot \text{Id}_x & & \parallel & & \\ 0 & \longrightarrow & \mathcal{O}_x^k & \xrightarrow{i_x \circ l_x} & E_x & \xrightarrow{j_x \circ h_x} & G_x \oplus T_x & \longrightarrow & 0 \end{array}$$

et il est clair que $l_x = \lambda \text{Id}_{\mathcal{O}_x^k}$ et que $h_x = 1/\lambda \text{Id}_{(G \oplus T)_x}$, d'où le résultat.

Donc si U est l'ouvert de $\text{Ext}^1(G \oplus T, \mathcal{O}^k)$ correspondant aux E stables, la propriété universelle de la variété de modules $U_{n,d}$ implique l'existence d'un morphisme

$$U \longrightarrow U_{n,d}$$

dont les fibres sont de dimension supérieure à

$$\dim \text{Aut } \mathcal{O}^k + \dim \text{Aut}(G \oplus T) - 1 .$$

Pour G et T fixés, on en déduit que l'image de ce morphisme dépend de au plus

$$\chi = k(d + (n - k)g - n) - \dim \text{Aut}(G \oplus T) + 1$$

paramètres, si elle est non vide. On va minorer $\dim \text{Aut}(G \oplus T) = m$:

- Si $T = 0$, $\dim \text{Hom}(G, G) \geq 1$, donc $m \geq 1$ et $\chi \leq k(d + (n - k)g - n)$
- Si $T, G \neq 0$, on a: $\text{Hom}(T, G) = 0$, $\dim \text{Hom}(G, G) \geq 1$, $\dim \text{Hom}(G, T) = \delta(n - k)$ et les automorphismes de T sont réduits aux homothéties en chaque point, c.-à-d. $\dim \text{Aut } T \geq$ nombre de points du support de T . Donc $m \geq \delta(n - k) + 2$ et $\chi \leq k(d + (n - k)g - n) - \delta(n - k) - 1$
- Si $G = 0$, alors $k = n$ et $m \geq$ nombre de points du support de T , et donc $\chi \leq n(d - n) - m + 1$.

On peut alors montrer que l'espace de Brill-Noether, $W_{n,d}^{k-1}$, est irréductible, de la bonne dimension avec un bon lieu de singularité s'il est non vide.

En effet, le lemme A-2 montre que tout fibré stable E possédant k sections globales indépendantes s'écrit comme une extension

$$0 \longrightarrow \mathcal{O}^k \longrightarrow E \longrightarrow G \oplus T \longrightarrow 0 .$$

Supposons $k < n$, c'est-à-dire $G \neq 0$. Pour G et T fixés, ces extensions dépendent de au plus $k(d + (n - k)g - n)$ paramètres, ($k(d + (n - k)g - n) - \delta(n - k) - 1$ paramètres si $T \neq 0$), et comme $H^0(G^*) = 0$ pour d, k et T fixés l'ensemble des G considérés forment une famille limitée, cette famille dépend de au plus $(n - k)^2(g - 1) + 1$ paramètres (cf [B-G-N] lemme 4.1). Le choix de T pour δ fixé rajoute δ paramètres donc on obtient la majoration

$$\begin{aligned} \dim W_{n,d}^{k-1} &\leq (n - k)^2(g - 1) + 1 + k(d + (n - k)g - n) \\ &\leq \rho(g, d, n, k - 1) \end{aligned}$$

et on en déduit que si $W_{n,d}^{k-1}$ est non vide alors il est de la bonne dimension. De plus on remarque que si $T \neq 0$, alors les extensions dépendent de au plus $\rho(g, d, n, k - 1) - 1$ paramètres. Or on sait que toute composante

irréductible de $W_{n,d}^{k-1}$ est de dimension au moins $\rho(g, d, n, k-1)$ donc toute composante de $W_{n,d}^{k-1}$ contient un sous-ensemble dense \mathcal{V} contenant les extensions

$$0 \longrightarrow \mathcal{O}^k \longrightarrow E \longrightarrow G \longrightarrow 0 .$$

Ces extensions sont paramétrées par une variété projective irréductible (cf [N-R] proposition 2.6 ou [B-G-N]). L'ouvert de cette variété correspondant aux fibrés stables s'envoie surjectivement sur $\mathcal{V} \subset W_{n,d}^{k-1}$. On en déduit l'irréductibilité de $W_{n,d}^{k-1}$. La proposition C-1 du Chap. 2 montre l'assertion sur les points singuliers de $W_{n,d}^{k-1}$.

Si $k = n$, alors $G = 0$, $\delta = d$ et on peut fixer le nombre p de points du support de T et le degré en chacun de ces points. Ces valeurs sont discrètes. Alors, d'après les calculs précédents, les suites exactes

$$0 \longrightarrow \mathcal{O}^k \longrightarrow E \longrightarrow T \longrightarrow 0$$

dépendent de au plus $n(d-n) - p + 1$ paramètres et le choix de T ajoute p paramètres. On retrouve bien

$$\dim W_{n,d}^{n-1} \leq n(d-n) + 1 = \rho .$$

Pour l'irréductibilité, les arguments sont encore les mêmes: $\text{Quot}^d(n, C)$, la variété paramétrisant les faisceaux de torsion de degré d quotient de \mathcal{O}^n , est irréductible (cf [Rego]); on en déduit l'existence d'une variété irréductible qui paramétrise toutes les extensions ci-dessus et l'ouvert correspondant aux fibrés stables s'envoie surjectivement sur $W_{n,d}^{n-1}$. Et on termine avec la proposition C du Chap. 2.

Pour l'existence, on adapte encore des idées qui se trouvent dans [BGN]. On étudie les extensions

$$0 \longrightarrow \mathcal{O}^n \longrightarrow E \longrightarrow \Theta \longrightarrow 0$$

où:

- Θ est un faisceau de torsion de degré d : par exemple Θ est de support d points distincts.
- E est un fibré tel que \mathcal{O} ne soit pas un facteur direct de E .

D'après ce qui précède, il existe de tels fibrés et ces extensions sont paramétrées par la grassmannienne

$$\text{Grass}_n \text{Ext}^1(\Theta, \mathcal{O})$$

qui est une variété de dimension $n(d-n) > 0$.

Si E est non stable, alors il existe un fibré stable F quotient de E tel que $\mu(F) \leq \mu(E)$. On obtient un diagramme commutatif

$$\begin{array}{ccccccccc}
& & 0 & & 0 & & 0 & & \\
& & \downarrow & & \downarrow & & \downarrow & & \\
0 & \longrightarrow & M' & \longrightarrow & F' & \longrightarrow & \Theta'' & \longrightarrow & 0 \\
& & \downarrow & & \downarrow & & \downarrow & & \\
0 & \longrightarrow & \mathcal{O}^n & \longrightarrow & E & \longrightarrow & \Theta & \longrightarrow & 0 \\
& & \downarrow & & \downarrow & & \downarrow & & \\
0 & \longrightarrow & M & \longrightarrow & F & \longrightarrow & \Theta' & \longrightarrow & 0 \\
& & \downarrow & & \downarrow & & \downarrow & & \\
& & 0 & & 0 & & 0 & &
\end{array}$$

où M est l'image de $\mathcal{O}^n \rightarrow F$, M' et F' sont les noyaux des morphismes verticaux et Θ' et Θ'' sont des faisceaux de torsions de degré d' et $d - d'$. F étant stable et $\mu(F) \leq \mu(E) = 1 + \frac{g}{n}$, le lemme A-2 implique que l'on a encore un morphisme injectif

$$H^0(F) \otimes \mathcal{O} \hookrightarrow F .$$

M est un sous-faisceau de F engendré par ses sections, on doit donc avoir $M \simeq \mathcal{O}^l$. Notons que $F \not\cong \mathcal{O}$ puisque \mathcal{O} n'est pas un facteur direct de E . Le diagramme devient:

$$\begin{array}{ccccccccc}
& & 0 & & 0 & & 0 & & \\
& & \downarrow & & \downarrow & & \downarrow & & \\
0 & \longrightarrow & \mathcal{O}^{n-l} & \longrightarrow & F' & \longrightarrow & \Theta'' & \longrightarrow & 0 \\
& & \downarrow & & \downarrow & & \downarrow & & \\
0 & \longrightarrow & \mathcal{O}^n & \longrightarrow & E & \longrightarrow & \Theta & \longrightarrow & 0 \\
& & \downarrow & & \downarrow & & \downarrow & & \\
0 & \longrightarrow & \mathcal{O}^l & \longrightarrow & F & \longrightarrow & \Theta' & \longrightarrow & 0 \\
& & \downarrow & & \downarrow & & \downarrow & & \\
& & 0 & & 0 & & 0 & &
\end{array}$$

Comme dans [BGN], on a un morphisme surjectif

$$\text{Ext}^1(\Theta, \mathcal{O}) \rightarrow \text{Ext}^1(\Theta'', \mathcal{O})$$

et l'existence de la suite exacte horizontale supérieure implique que l'image du n-uplet $(e_1, \dots, e_n) \in \text{Ext}^1(\Theta, \mathcal{O})$ représentant l'extension

$$0 \longrightarrow \mathcal{O}^n \longrightarrow E \longrightarrow \Theta \longrightarrow 0$$

a pour image par ce morphisme un n-uplet dont au plus $n - l$ éléments sont indépendants. Ceci détermine une sous-variété Z de $\oplus^n \text{Ext}^1(\Theta, \mathcal{O})$ de codimension $l(d - d' - n + l)$.

Or, par hypothèse, $d > n$ et $\frac{d}{n} \geq \frac{d'}{l}$. De plus, la suite exacte horizontale du bas montre que F est un fibré stable de rang l possédant l sections globales indépendantes donc que $d' > l$ (cf théorème A-1 du Chap. 2). Donc,

$$d - d' \geq \left(\frac{n}{l} - 1\right)d' = (n - l)\frac{d'}{l} > (n - l).$$

On en déduit que

$$\text{codim } Z \geq l$$

Il existe donc des extensions

$$0 \longrightarrow \mathcal{O}^n \longrightarrow E \longrightarrow \Theta \longrightarrow 0$$

qui ne peuvent se compléter en un diagramme comme ci-dessus pour aucune valeur de d' et le fibré E correspondant est stable et possède n sections globales indépendantes. Le théorème A-1 est ainsi entièrement démontré. \diamond

B- Fibrés vectoriels avec beaucoup de sections.

Ici, on considère que $d = n + gl + l'$, avec $\frac{d}{n} < 2$, $0 < l' < g$ et $l > 0$. L'idée est de déduire l'existence de fibrés E , de rang n et de degré d , de l'existence de fibrés stables correspondant à des points sur la droite Δ . Notons tout d'abord que le théorème A-1 du Chap. 2 implique que

$$h^0(E) \leq n + \frac{1}{g}(d - n)$$

et comme $d = n + gl + l'$, on en déduit que $h^0(E) \leq n + l$. On va donc chercher des fibrés stables E tel que $h^0(E) = n + l$. On déduira de l'existence de ces fibrés E le théorème ci-dessous, qui termine l'étude des fibrés vectoriels stables de pente < 2 :

B-1 Théorème: *On suppose que $d = n + gl + l'$ où n, l, l' sont des entiers vérifiant $\frac{d}{n} < 2$, $0 < l' < g$ et $l > 0$. Alors $W_{n,d}^{n+l-1}$ est non vide.*

Démonstration: Le théorème B-1 du Chap. 2 donne l'existence de fibrés stables E' de rang $m = n + l'$ et de degré $d = n + gl + l'$ tel que E' s'inscrit dans une suite exacte

$$0 \longrightarrow D(E')^* \longrightarrow \mathcal{O}^{m+l} \longrightarrow E' \longrightarrow 0$$

avec $D(E')$ stable.

On va en fait chercher les fibrés E comme des quotients de E' ($l' < n$):

$$0 \longrightarrow \mathcal{O}^{l'} \longrightarrow E' \longrightarrow E \longrightarrow 0$$

Il est clair que si E est stable, alors E' vérifie toutes les propriétés voulues.

Nous utiliserons la terminologie suivante: nous avons montré que l'on a un isomorphisme entre $W_{m,m+gl}^{m+l-1}$ et $U_{l,m+gl}$. Cet isomorphisme étant défini, avec les notations ci-dessus, par $E' \mapsto D(E')$. On dira que E' est générique dans $W_{m,m+gl}^{m+l-1}$ si $D(E')$ est générique dans le sens habituel dans $U_{l,m+gl}$.

Soit une extension

$$0 \longrightarrow \mathcal{O}^{l'} \longrightarrow E' \longrightarrow E \longrightarrow 0 ,$$

et supposons que E n'est pas stable. Soit G un fibré quotient stable de pente minimale:

$$0 \longrightarrow H \longrightarrow E \longrightarrow G \longrightarrow 0 .$$

Le fibré G est stable de pente $\mu(G) = \frac{d_G}{n_G} \leq \mu(E) = \frac{n+gl+l'}{n} = 1 + \frac{gl+l'}{n} < 2$. Le théorème A-1 du Chap. 2 implique que

$$h^0(G) \leq n_G + \frac{1}{g}(d_G - n_G) .$$

En posant $h^0(G) = n_G + l_G$, on obtient

$$\mu(G) \geq 1 + \frac{gl_G}{n_G} .$$

Et comme $\mu(G) \leq \mu(E) = 1 + \frac{gl+l'}{n}$, on en déduit que $l_G \leq l$ (on a $l' < g$).

Expliciter directement sur E le fait que E ne soit pas stable semble fort complexe et ne pas aboutir. L'idée est d'étudier les conséquences de E non stable sur les fibrés E' dont nous avons une bonne description. C'est ce que nous permet de faire le diagramme commutatif ci-dessous obtenu à partir des deux suites exactes précédentes:

$$\begin{array}{ccccccc}
& & 0 & & 0 & & 0 \\
& & \downarrow & & \downarrow & & \downarrow \\
0 & \longrightarrow & 0 & \longrightarrow & 0 & \longrightarrow & H \\
& & \downarrow & & \downarrow & & \downarrow \\
0 & \longrightarrow & \mathcal{O}^{l'} & \longrightarrow & E' & \longrightarrow & E \longrightarrow 0 \\
& & \downarrow & & \downarrow & & \downarrow \\
0 & \longrightarrow & Q & \longrightarrow & E' & \longrightarrow & G \longrightarrow 0 \\
& & \downarrow & & \downarrow & & \downarrow \\
& & H & \longrightarrow & 0 & & 0 \\
& & \downarrow & & & & \\
& & 0 & & & &
\end{array}$$

Diagramme 1

où Q est le noyau du morphisme $E' \rightarrow G$ et l'apparition du fibré H en bas à gauche est donnée par le lemme d'algèbre appelé "Le diagramme du serpent" (cf [Pe]). Q est de pente $\mu(Q) = \frac{d_Q}{n_Q}$.

Pour démontrer l'existence de fibrés stables E comme annoncés, nous allons d'abord étudier les fibrés Q , ensuite les compter dans le cas $l' = 1$. On obtiendra que l'on n'a pas assez de fibrés Q pour "englober" toutes les sections de E' . Puis on fait une récurrence sur l' .

Étude des fibrés Q : L'objet essentiel de cette étude est de montrer que Q est génériquement engendré par ses sections. En fait on ne pourra le montrer directement. On donne ici tous les éléments nécessaires et il nous faudra reprendre cette étude quand on aura posé les hypothèses de la récurrence. On note $h^0(Q) = n_Q + l_Q$. Comme $l_G \leq l$, on en déduit que $l_Q \geq 0$. Q a donc au moins n_Q sections.

Tout d'abord montrons que $h^0(Q^*) = l'_Q < l'$: en effet, le fibré H a, par hypothèse, une filtration de Harder-Narasimhan (cf partie A du Chap. 1) dont les quotients sont tous de pente $\geq \mu(G) > 0$. Donc $h^0(H^*) = 0$. Dans le diagramme 1, le dual de la suite exacte verticale de gauche

$$0 \longrightarrow H^* \longrightarrow Q^* \longrightarrow \mathcal{O}^{l'} \longrightarrow 0$$

montre que $h^0(Q^*) \leq l'$. L'existence de l'_Q sections se traduit par un morphisme $\mathcal{O}^{l'_Q} \rightarrow Q^*$. Le schéma ci-dessous

$$\begin{array}{ccccccc} & & & \mathcal{O}^{l'_Q} & & & \\ & & & \downarrow & & & \\ 0 & \longrightarrow & H^* & \longrightarrow & Q^* & \longrightarrow & \mathcal{O}^{l'} \longrightarrow 0 \end{array}$$

montre alors que $\mathcal{O}^{l'_Q} \hookrightarrow \mathcal{O}^{l'}$, puisque $h^0(H^*) = 0$ et donc que Q admet $\mathcal{O}^{l'_Q}$ en facteur direct. On note $Q \simeq \mathcal{O}^{l'_Q} \oplus Q'$. Si $h^0(Q^*) = l'$ alors on obtient $Q \simeq \mathcal{O}^{l'} \oplus H$. Or Q est un sous-fibré de E' stable et par hypothèse $\mu(H) \geq \mu(E) > \mu(E')$. H ne peut donc pas être un sous-fibré de E' et on a bien $h^0(Q^*) < l'$.

On a deux suites exactes

$$0 \longrightarrow Q' \longrightarrow Q \longrightarrow \mathcal{O}^{l'_Q} \longrightarrow 0$$

et

$$0 \longrightarrow Q \longrightarrow E' \longrightarrow G \longrightarrow 0$$

qui s'imbriquent dans un diagramme commutatif

$$\begin{array}{ccccccc}
& & 0 & & 0 & & 0 \\
& & \downarrow & & \downarrow & & \downarrow \\
0 & \longrightarrow & 0 & \longrightarrow & 0 & \longrightarrow & \mathcal{O}'_Q \\
& & \downarrow & & \downarrow & & \downarrow \\
0 & \longrightarrow & Q' & \longrightarrow & E' & \longrightarrow & G' \longrightarrow 0 \\
& & \downarrow & & \downarrow & & \downarrow \\
0 & \longrightarrow & Q & \longrightarrow & E' & \longrightarrow & G \longrightarrow 0 \\
& & \downarrow & & \downarrow & & \downarrow \\
& & \mathcal{O}'_Q & \longrightarrow & 0 & & 0 \\
& & \downarrow & & & & \\
& & 0 & & & &
\end{array}$$

Le fibré G' étant le conoyau du morphisme $Q' \rightarrow E'$. G' est un quotient de E' , donc $h^0(G'^*) = 0$. De plus, la suite exacte verticale de droite montre que le sous-fibré maximal de G' est de pente $\leq \mu(G) < 2$. D'après la proposition A-2 du Chap. 1, on obtient

$$h^0(G') \leq n_{G'} + \frac{1}{g}(d_{G'} - n_{G'}) .$$

On a la même inégalité pour Q' puisque par construction $h^0(Q'^*) = 0$ et que Q' est un sous-fibré de E' :

$$h^0(Q') \leq n_{Q'} + \frac{1}{g}(d_{Q'} - n_{Q'}) .$$

Dans le diagramme ci-dessus, la suite exacte horizontale du milieu

$$0 \longrightarrow Q' \longrightarrow E' \longrightarrow G' \longrightarrow 0$$

montre que

$$h^0(E') \leq h^0(G') + h^0(Q') \leq n_{G'} + \frac{1}{g}(d_{G'} - n_{G'}) + n_{Q'} + \frac{1}{g}(d_{Q'} - n_{Q'}) .$$

Comme, par hypothèse, $h^0(E') = m + \frac{1}{g}(d - m)$ (rappelons que $\text{rg } E' = n + l' = m$), $m = n_{Q'} + n_{G'}$ et $d = d_{Q'} + d_{G'}$, l'inégalité ci-dessus implique que

$$h^0(Q') = n_{Q'} + \frac{1}{g}(d_{Q'} - n_{Q'})$$

et que

$$h^0(G') = n_{G'} + \frac{1}{g}(d_{G'} - n_{G'}) .$$

Les fibrés G' et Q' correspondent à des points sur la droite Δ . Comme $h^0(Q') + l'_Q = h^0(Q)$ et $d_{Q'} = d_Q$, on en déduit que $h^0(Q') = n_{Q'} + l_Q$ et que $d_Q = n_Q - l'_Q + gl_Q$. De la même façon, on obtient $h^0(G') = n_{G'} + l_G$ et $d_G = n_G + gl_G + l'_Q$.

Nous allons procéder de la façon suivante: on va donner Γ une majoration du nombre de paramètres dont dépendent les fibrés Q . Chacun de ces fibrés Q a $n_Q + l_Q$ sections globales et donc définit dans $\text{Grass}_{l'}(\mathbb{H}^0(E'))$ un sous-espace de dimension $l'(n_Q + l_Q - l')$, la dimension de la grassmanienne $\text{Grass}_{l'}(\mathbb{H}^0(Q))$. Le sous-espace de $\text{Grass}_{l'}(\mathbb{H}^0(E'))$ défini par tous les fibrés Q dépend alors de au plus

$$\Gamma + l'(n_Q + l_Q - l')$$

paramètres.

Or, la grassmanienne $\text{Grass}_{l'}(\mathbb{H}^0(E'))$ est de dimension $l'(n_Q + n_G + l - l')$, donc si l'on montre que

$$l'(n_Q + n_G + l - l') > \Gamma + l'(n_Q + l_Q - l') ,$$

alors il existe des sous-espaces $\mathcal{O}' \subset \mathbb{H}^0(E')$ qui ne s'injectent pas dans un fibré Q comme ci-dessus et donc le conoyau de l'injection $\mathcal{O}' \hookrightarrow E'$ est génériquement un fibré stable, ce que nous voudrions. Comme $l = l_Q + l_G$, l'inégalité ci-dessus se simplifie:

$$l'(n_G + l_G) > \Gamma \quad (*)$$

Il faut donc trouver une bonne majoration Γ du nombre de paramètres dont dépendent les fibrés Q . Pour cela nous aurons besoin du fait que Q est génériquement engendré par ses sections.

Si $l' = 1$, la première étape de la récurrence, alors $h^0(Q^*) < l'$ donne $h^0(Q^*) = 0$ et donc $Q = Q'$ et $G = G'$ et

$$\begin{aligned} - d_Q &= n_Q + gl_Q; d_G = n_G + gl_G. \\ - h^0(Q) &= n_Q + l_Q; h^0(G) = n_G + l_G. \end{aligned}$$

De plus, dans ce cas, Q s'inscrit dans une suite exacte (cf diagramme 1)

$$0 \longrightarrow \mathcal{O} \longrightarrow Q \longrightarrow H \longrightarrow 0$$

où H contredit la stabilité de E , c'est-à-dire $\mu(H) \geq \mu(E) > \mu(E')$. Ceci implique que $\mu(H) = \frac{d_Q}{n_Q - 1} = 1 + \frac{gl_Q + 1}{n_Q - 1} > \mu(E')$.

Soit \mathcal{F} , le sous-faisceau de Q engendré par ses sections. On a $h^0(\mathcal{F}) = n_Q + l_Q$. Si le rang de \mathcal{F} est strictement inférieur à n_Q , on déduit de la proposition A-2 du Chap. 2 que \mathcal{F} a un sous-faisceau \mathcal{F}' de pente $\geq 1 + \frac{g(l_Q + 1)}{\text{rg } \mathcal{F}}$. \mathcal{F}' serait alors un sous-faisceau de E' stable de pente $\geq 1 + \frac{g(l_Q + 1)}{\text{rg } \mathcal{F}} > \mu(H) > \mu(E')$, ce qui est absurde. Donc \mathcal{F} est de rang n_Q . On obtient bien que Q est génériquement engendré par ses sections.

Pour éviter de faire deux fois les mêmes calculs, on va supposer que pour $l' < g$ quelconque et pour E' et \mathcal{O}' assez généraux, alors Q est génériquement engendré par ses sections (ceci sera montré avec la récurrence).

On suppose donc que le morphisme d'évaluation de Q s'inscrit dans une suite exacte

$$0 \longrightarrow D(Q)^* \longrightarrow H^0(Q) \otimes \mathcal{O} \longrightarrow Q \longrightarrow \Theta \longrightarrow \mathcal{O}$$

où Θ est le faisceau de torsion conoyau. On note d_Θ son degré.

On obtient alors un diagramme commutatif:

$$\begin{array}{ccccccc}
& & 0 & & 0 & & 0 \\
& & \downarrow & & \downarrow & & \downarrow \\
0 & \longrightarrow & D(Q)^* & \longrightarrow & D(E')^* & \longrightarrow & D(G)^* \\
& & \downarrow & & \downarrow & & \downarrow \\
0 & \longrightarrow & H^0(Q) \otimes \mathcal{O} & \longrightarrow & H^0(E') \otimes \mathcal{O} & \longrightarrow & H^0(G) \otimes \mathcal{O} \longrightarrow 0 \\
& & \downarrow & & \downarrow & & \downarrow \\
0 & \longrightarrow & Q & \longrightarrow & E' & \longrightarrow & G \longrightarrow 0 \\
& & \downarrow & & \downarrow & & \downarrow \\
& & \Theta & \longrightarrow & 0 & & 0 \\
& & \downarrow & & & & \\
& & 0 & & & &
\end{array}$$

Diagramme 2

Considérons la suite exacte du "diagramme du serpent"

$$0 \longrightarrow D(Q)^* \longrightarrow D(E')^* \longrightarrow D(G)^* \longrightarrow \Theta \longrightarrow 0$$

que l'on dualise

$$0 \longrightarrow D(G) \longrightarrow D(E') \longrightarrow D(Q) \oplus \Theta \longrightarrow 0 ,$$

et $H^0(G)^*$ est un sous-espace vectoriel de $H^0(D(G))$ de dimension $n_G + l_G$.

Par construction, on a $n_{D(G)} = l_G$, $n_{D(E')} = l$, $n_{D(Q)} = l_Q$ et:

$$\begin{aligned}
- d_{D(G)} &= d_G = n_G + gl_G + l'_Q \\
- d_{D(Q)} &= n_Q + gl_Q - l'_Q - d_\Theta
\end{aligned}$$

De plus $D(G)$ est engendré par ses sections et $h^1(D(G)) = 0$ (cf lemme C-2 du Chap. 2). Maintenant soit F et F' deux fibrés tels que $n_F = n_{D(G)}$, $n_{F'} = n_{D(Q)}$, et $d_F = d_{D(G)}$, $n_{F'} = n_{D(Q)}$, et F est engendré par ses sections, et $h^1(F) = 0$. Supposons que l'on ait une suite exacte

$$0 \longrightarrow F \longrightarrow D(E') \longrightarrow F' \oplus \Theta \longrightarrow 0 .$$

Soit un sous-espace vectoriel V de $H^0(F)$ de dimension $n_G + l_G$ qui engendre F . En posant

$$G \simeq (ev : V \otimes \mathcal{O} \longrightarrow F)^*$$

et

$$Q \simeq \text{Ker}(E' \longrightarrow G)$$

on réobtient une suite exacte

$$0 \longrightarrow Q \longrightarrow E' \longrightarrow G \longrightarrow 0 .$$

Les suites exactes

$$0 \longrightarrow Q \longrightarrow E' \longrightarrow G \longrightarrow 0$$

sont donc en correspondance bijective avec les suites exactes

$$0 \longrightarrow F \longrightarrow D(E') \longrightarrow F' \oplus \Theta \longrightarrow 0$$

munies d'un sous-espace $V \subset H^0(F)$ comme ci-dessus. Pour F fixé, le choix de V est classifié par la grassmannienne $\text{Grass}_{n_G+l_G}(H^0(F))$ et donc dépend de $l'_Q(n_G+l_G)$ paramètres (car $h^0(F) = n_G+l_G+l'_Q$). Il nous reste à compter le nombre Γ_1 de paramètres dont dépendent les extensions

$$0 \longrightarrow F \longrightarrow D(E') \longrightarrow F' \oplus \Theta \longrightarrow 0$$

pour $D(E')$ fixé et on pourra poser

$$\Gamma = \Gamma_1 + l'_Q(n_G+l_G) .$$

Pour calculer Γ_1 , on suppose d'abord que $D(E')$ varie dans $U_{l,d}$. Les familles des F et des F' sont limitées. Le choix du fibré F dépend de $l_G^2(g-1)+1$ paramètres; le choix du fibré F' dépend de $l_Q^2(g-1)+1$ paramètres et le choix de Θ dépend de n_Θ paramètres, le nombre de points du support de Θ . Pour F et F' fixés les extensions

$$0 \longrightarrow F \longrightarrow D(E') \longrightarrow F' \oplus \Theta \longrightarrow 0$$

sont paramétrées par $\text{Ext}^1(F' \oplus \Theta, F) = H^1(F'^* \otimes F) \oplus \text{Ext}^1(\Theta, F)$; $D(E')$ devant être stable, on a $h^0(F'^* \otimes F) = 0$.

Le théorème de Riemann-Roch implique alors que

$$\begin{aligned} h^1(F'^* \otimes F) &= l_G(n_Q+gl_Q-l'_Q-d_\Theta) - l_Q(n_G+gl_G+l'_Q+d_\Theta) + l_Q l_G(g-1) \\ &= l_G n_Q - l_Q n_G + l_Q l_G(g-1) - l(d_\Theta + l'_Q) \end{aligned}$$

De plus $\dim(\text{Ext}^1(\Theta, F)) = l_G d_\Theta$. Donc, en considérant l'action de $\text{Aut}(\Theta)$ sur ces extensions ($\dim(\text{Aut}(\Theta)) \geq n_\Theta$), on en déduit que le nombre de paramètres dont dépendent les extensions ci-dessus pour $D(E')$, F , F' et Θ variants (mais les rangs et les degrés sont fixés) est donc inférieur ou égal à

$$l_G^2(g-1)+1+l_Q^2(g-1)+1+l_G n_Q - l_Q n_G + l_Q l_G(g-1) - (l-l_G)d_\Theta - l l'_Q - 1 ;$$

après simplification et avec $l = l_G + l_Q$, l'expression ci-dessus est encore égale à

$$l^2(g-1) + 1 + l_G n_Q - l_Q n_G - l_Q l_G (g-1) - l_Q d_\Theta - ll'_Q .$$

Or $D(E')$ dépend de $l^2(g-1)+1$ paramètres, donc pour $D(E')$ fixé assez général, les suites exactes comme ci-dessus doivent dépendre de au plus

$$l_G n_Q - l_Q n_G - l_Q l_G (g-1) - l_Q d_\Theta - ll'_Q$$

paramètres et l'on posera en fait

$$\Gamma_1 = l_G n_Q - l_Q n_G - l_Q l_G (g-1) - ll'_Q .$$

L'inégalité (*) que l'on veut démontrer s'écrit

$$l'(n_G + l_G) > l_G n_Q - l_Q n_G - l_Q l_G (g-1) - ll'_Q + l'_Q (n_G + l_G)$$

ou encore

$$(l' - l'_Q)n_G > l_G n_Q - l_Q n_G - l_Q l_G (g-1) - l'_Q l_Q - l' l_G .$$

Or, $\mu(H) = \frac{d_Q}{n_Q - l'} = \frac{n_Q + gl_Q - l'_Q}{n_Q - l'} \geq 1 + \frac{gl_G + l'_Q}{n_G} = \mu(G)$ implique que

$$n_G(l' + gl_Q - l'_Q) \geq n_Q(gl_G + l'_Q) - l'(gl_G + l'_Q)$$

donc que

$$l_G n_Q - l_Q n_G \leq \frac{1}{g} [(l' - l'_Q)n_G - l'_Q n_Q] + l' l_G + \frac{l' l'_Q}{g} ,$$

et il nous suffira de prouver

$$\frac{g-1}{g} [(l' - l'_Q)n_G] > -\frac{l'_Q}{g} n_Q + l' l_G + \frac{l' l'_Q}{g} - l_Q l_G (g-1) - l'_Q l_Q - l' l_G .$$

Mais on a $n_G > gl_G$ (cf Théorème A-1 du Chap. 2), $l'_Q < l' < g$ et $l_G > 0$ (car G engendré par ses sections), donc

$$\frac{g-1}{g} [(l' - l'_Q)n_G] > l' l_G$$

ainsi que

$$\frac{l' l'_Q}{g} - l' l_G < 0$$

ce qui montre que l'inégalité (*) est toujours vraie.

On vient donc de montrer que si le fibré Q est génériquement engendré par ses sections pour " Q assez général", alors génériquement un sous-espace de sections $\mathcal{O}^{l'} \in \text{Grass}_{l'}(\mathbb{H}^0(E'))$ ne s'envoie dans aucun fibré Q comme ci-dessus et donc le conoyau E de l'injection serait stable.

Pour $l' = 1$, on a fini.

La récurrence: L'hypothèse de récurrence est: Soit E' un fibré générique comme ci-dessus et soit $\mathcal{O}^{l'-1} \subset \mathbb{H}^0(E')$ un sous-espace vectoriel de dimension $l' - 1$ générique dans la grassmannienne, $\text{Grass}_{l'-1}(\mathbb{H}^0(E'))$, des sous-espaces vectoriels de dimension $l' - 1$ dans $\mathbb{H}^0(E')$. Alors, le conoyau E

$$0 \longrightarrow \mathcal{O}^{l'-1} \longrightarrow E' \longrightarrow E \longrightarrow 0$$

est stable.

Maintenant, soit $\mathcal{O}^{l'} \subset \mathbb{H}^0(E')$ un sous-espace vectoriel de dimension l' générique dans la grassmannienne, $\text{Grass}_{l'}(\mathbb{H}^0(E'))$, des sous-espaces vectoriels de dimension l' dans $\mathbb{H}^0(E')$. On veut montrer que le conoyau E

$$0 \longrightarrow \mathcal{O}^{l'} \longrightarrow E' \longrightarrow E \longrightarrow 0$$

est stable.

On a vu que la non-stabilité de E impliquerait l'existence d'une suite exacte

$$0 \longrightarrow H \longrightarrow E \longrightarrow G \longrightarrow 0$$

où G est stable de pente $\leq \mu(E)$ et donne, par le Diagramme 1, une suite exacte

$$0 \longrightarrow Q \longrightarrow E' \longrightarrow G \longrightarrow 0$$

D'après ce qui précède, il nous reste à montrer que si E' et $\mathcal{O}^{l'}$ sont assez généraux, alors Q est génériquement engendré par ses sections

On peut supposer que génériquement un sous-espace de sections $\mathcal{O}^{l'-1} \subset \mathcal{O}^{l'}$ vérifie: le conoyau R

$$0 \longrightarrow \mathcal{O}^{l'-1} \longrightarrow E' \longrightarrow R \longrightarrow 0$$

est stable.

Cette suite exacte se place dans un diagramme commutatif

$$\begin{array}{ccccccc}
 & & & & & & 0 \\
 & & & & & & \downarrow \\
 & & & & & & \mathcal{O} \\
 & & & & & & \downarrow \\
 0 & \longrightarrow & 0 & \longrightarrow & 0 & \longrightarrow & \mathcal{O} \\
 & & \downarrow & & \downarrow & & \downarrow \\
 0 & \longrightarrow & \mathcal{O}^{l'-1} & \longrightarrow & E' & \longrightarrow & R \longrightarrow 0 \\
 & & \downarrow & & \downarrow & & \downarrow \\
 0 & \longrightarrow & \mathcal{O}^{l'} & \longrightarrow & E' & \longrightarrow & E \longrightarrow 0 \\
 & & \downarrow & & \downarrow & & \downarrow \\
 & & \mathcal{O} & \longrightarrow & 0 & & 0 \\
 & & \downarrow & & & & \\
 & & 0 & & & &
 \end{array}$$

dont on retient la suite exacte

$$0 \longrightarrow \mathcal{O} \longrightarrow R \longrightarrow E \longrightarrow 0$$

qui, avec la suite exacte en E , G et H , donne un nouveau diagramme commutatif

$$\begin{array}{ccccccc}
 & & & & & & 0 \\
 & & & & & & \downarrow \\
 & & & & & & H \\
 & & 0 & & 0 & \longrightarrow & \\
 & & \downarrow & & \downarrow & & \downarrow \\
 0 & \longrightarrow & \mathcal{O} & \longrightarrow & R & \longrightarrow & E & \longrightarrow & 0 \\
 & & \downarrow & & \downarrow & & \downarrow & & \\
 0 & \longrightarrow & Q_0 & \longrightarrow & R & \longrightarrow & G & \longrightarrow & 0 \\
 & & \downarrow & & \downarrow & & \downarrow & & \\
 & & H & \longrightarrow & 0 & & 0 & & \\
 & & \downarrow & & & & & & \\
 & & 0 & & & & & &
 \end{array}$$

Diagramme 3

où Q_0 est le noyau du morphisme $R \rightarrow G$

Comme $\mu(H) \geq \mu(E) > \mu(R)$, on en déduit que $h^0(Q_0^*) = 0$ (sinon, H serait un sous-fibré de R stable). On a encore un dernier diagramme

$$\begin{array}{ccccccc}
 & & & & & & 0 \\
 & & & & & & \downarrow \\
 & & & & & & Q_0 \\
 & & & & & & \downarrow \\
 & & & & & & R \\
 0 & \longrightarrow & \mathcal{O}^{l'-1} & \longrightarrow & E' & \longrightarrow & \\
 & & \downarrow & & \downarrow & & \downarrow \\
 0 & \longrightarrow & Q & \longrightarrow & E' & \longrightarrow & G & \longrightarrow & 0 \\
 & & \downarrow & & \downarrow & & \downarrow & & \\
 & & Q_0 & \longrightarrow & 0 & & 0 & & \\
 & & \downarrow & & & & & & \\
 & & 0 & & & & & &
 \end{array}$$

dont on retient la suite exacte

$$0 \longrightarrow \mathcal{O}^{l'-1} \longrightarrow Q \longrightarrow Q_0 \longrightarrow 0 .$$

On en déduit que $\mu(Q_0) = 1 + \frac{gl_Q + l' - l'_Q - 1}{n_{Q_0}}$. Comme $h^0(Q_0^*) = 0$ et que Q_0 est un sous-fibré de R stable de pente < 2 , la proposition A-2 du chap. 1 implique que $h^0(Q_0) = n_{Q_0} + l_Q$. Toutes les sections de Q_0 remontent donc à Q . On va montrer que Q_0 est génériquement engendré par ses sections et ce sera fini.

C'est la suite exacte donnée par le diagramme 3:

$$0 \longrightarrow \mathcal{O} \longrightarrow Q_0 \longrightarrow H \longrightarrow 0$$

qui nous permet de conclure: d'après ce qui précède, on a $\mu(H) = 1 + \frac{gl_Q + l' - l'_Q}{n_H}$, et comme H contredit la stabilité de E , on a aussi par hypothèse $\mu(H) > \mu(R)$. Comme dans le cas $l' = 1$, on en déduit que Q_0 est génériquement engendré par ses sections (sinon Q_0 contient un sous-faisceau de pente $\geq 1 + \frac{g(l_Q+1)}{n_H}$ et ceci contredit la stabilité de R).

La démonstration du théorème est donc terminée. \diamond

Annexe:

Les figures

Bibliographie

- [A] Atiyah, M.F. : *Vector bundles on an elliptic curve*. Proc. Lond. Math.Soc. (3) **7**. (1982) pp. 414-452.
- [A-C-G-H] Arbarello, E., Cornalba, M., Griffiths, P., Harris, J. : *Geometry of Algebraic curves I*. Grundlehren Math. Wiss. **267**, Springer verlag, New-York, (1984).
- [B-G-N] Brambila-Paz, L., Grzegorzczak, I., Newstead, P. E. : *Geography of Brill-Noether loci for small slopes* Preprint Octobre 95.
- [B-N] Brambila-Paz, L., Newstead, P. E. : *Subvariedades del espacio moduli* Memorias del XXVII Congreso de la Sociedad Matematica Mexicana, Comunicaciones, Aportaciones Matematicas **16** (1995), pp. 43-53.
- [B] Butler C., D. : *Normal generation of vector bundles over a curve*. J. Differential Geometry **39** (1994) pp. 1-34.
- [EGA] Grothendieck, A. : *Eléments de Géométrie Algébrique* Springer Verlag **166** (1971)
- [E-H-1] Eisenbud, D., Harris, J. : *Limit linear series: Basic theory*. Invent. Math. **85** (1986) pp. 337-371.
- [E-H-2] ————— : *Divisors on general curves and cuspidal rational curves*. Invent. Math. **74** (1983) pp. 371-418.
- [E-H-3] ————— : *A simpler proof of Gieseker-Petri Theorem on special divisors*. Inventiones math. **74** (1983) pp. 269-280.
- [G] Grothendieck, A. : *Technique de descente et théorème d'existence en géométrie algébrique. IV Les schémas de Hilbert*. Séminaire Bourbaki **221**, (1960/61).
- [H] Hartshorne, R. : *Algebraic geometry*. Berlin-Heidelberg-New York Springer Verlag (1977) .
- [L] Laumon, G. : *Fibrés vectoriels spéciaux*. Bull. Soc. Math. France **119** (1991) pp. 97-119.
- [Li] Li, Y. : *Spectral curves, theta divisors and Picard bundles*, International J. Math. **2** (1991), pp. 525-550.
- [LP] Le Potier, J. : *Fibrés vectoriels sur les courbes algébriques.*, Publications Mathématiques de l'université Paris 7- Denis Diderot **35** (1996) .

- [M-F] Mumford, D., Fogarty, J. : *Geometric Invariant Theory*. Springer Verlag (1982) .
- [Na-R] Narasimhan, M. S., Ramanan, S. : *Deformation of the moduli space of vector bundles over an algebraic curve* Ann.-Math. (2) **101** (1975), pp. 391-417.
- [Na-Se] Narasimhan, M. S., Seshadri, C. S. : *Stable and unitary vector bundles on a compact Riemann surface* Ann.-of-Math. (2) **82** (1965) pp. 540-567.
- [Pe] Peskine, C. : *Introduction algébrique à la géométrie projective* Cours de D.E.A (1993).
- [P-R] Paranjape, P., Ramanan, S. : *On the canonical ring of a curve* Collection: Algebraic geometry and commutativ algebra, Vol. II, (1988) pp. 503-516
- [Re] Re, R. : *Multiplication of sections and Clifford bounds for special stable bundles on curves* Preprint 96.
- [Rego] Rego, C. J. : *Deformation of modules on curves and surfaces. Singularities, Representatation of Algebras, and Vector Bundles.* Proceedings, Lambrecht 1985, Springer Lect. Notes in Math. **1273** pp. 157-167
- [Se] Seshadri, C. S. : *Fibrés vectoriels sur les courbes algébriques.* Astérisque **96**. (1982) .
- [Su] Sundaram, N. : *Special divisor and vector bundles* Tôhoku Math. Journ. **39** (1987) pp.175-273.
- [T] Tan, X. J. : *Some results on the existence of rank two special stable vector bundles* Manuscripta Math. **75** (1992), 365-373.
- [Te-1] Monserrat Teixidor I Bigas : *Brill-Noether Theory for stable vector bundles.*, Duke math. Journal **62** (1991) .
- [Te-2] ————— : *Brill-Noether Theory for vector bundles of rank 2.* Tôhoku Math. journal **43** (1991) pp. 123-126.
- [Te-3] ————— : *On the Gieseker-Petri map for rank 2 vector bundles* Manuscripta Math. **75** (1992) pp. 375-382.

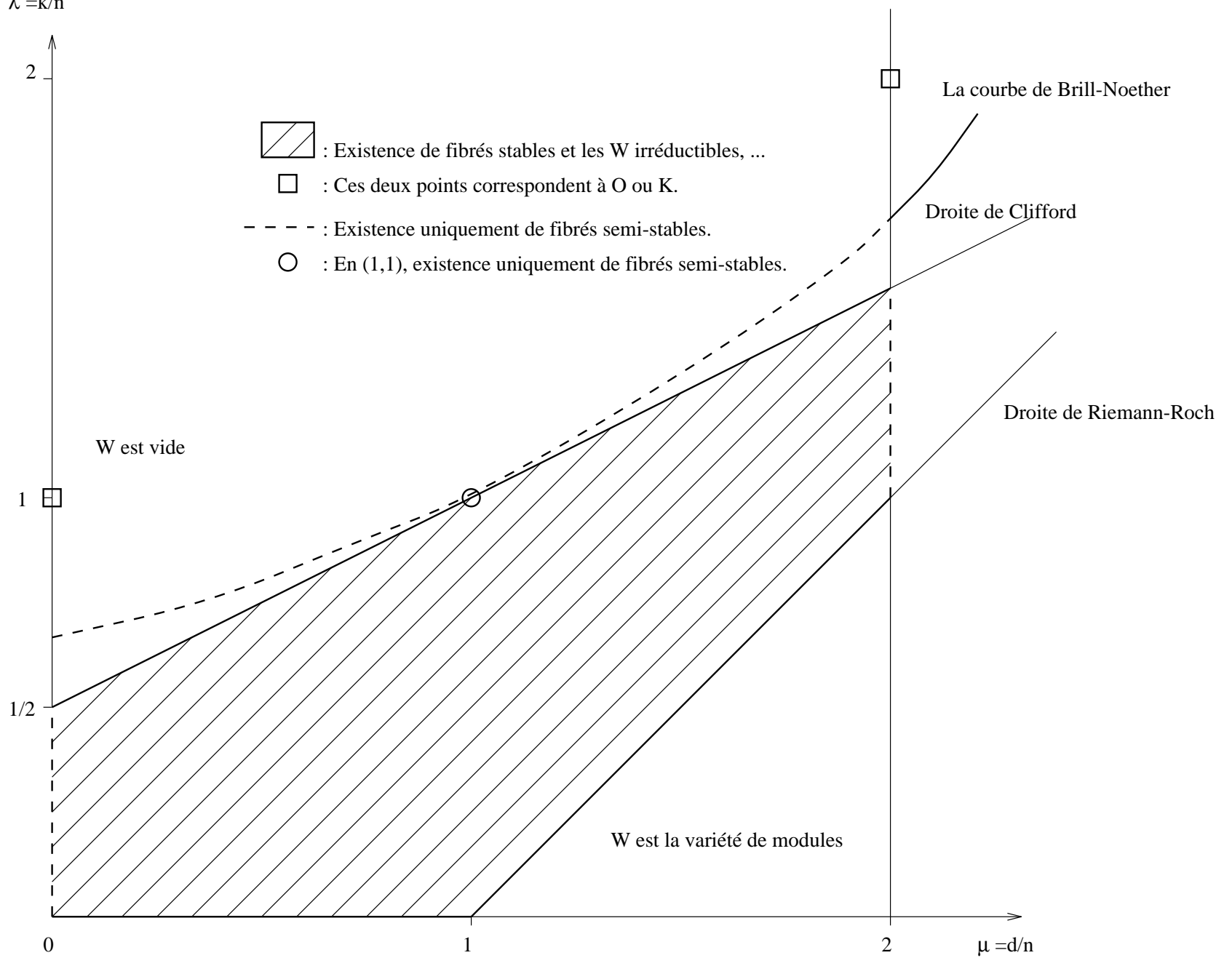


Figure e

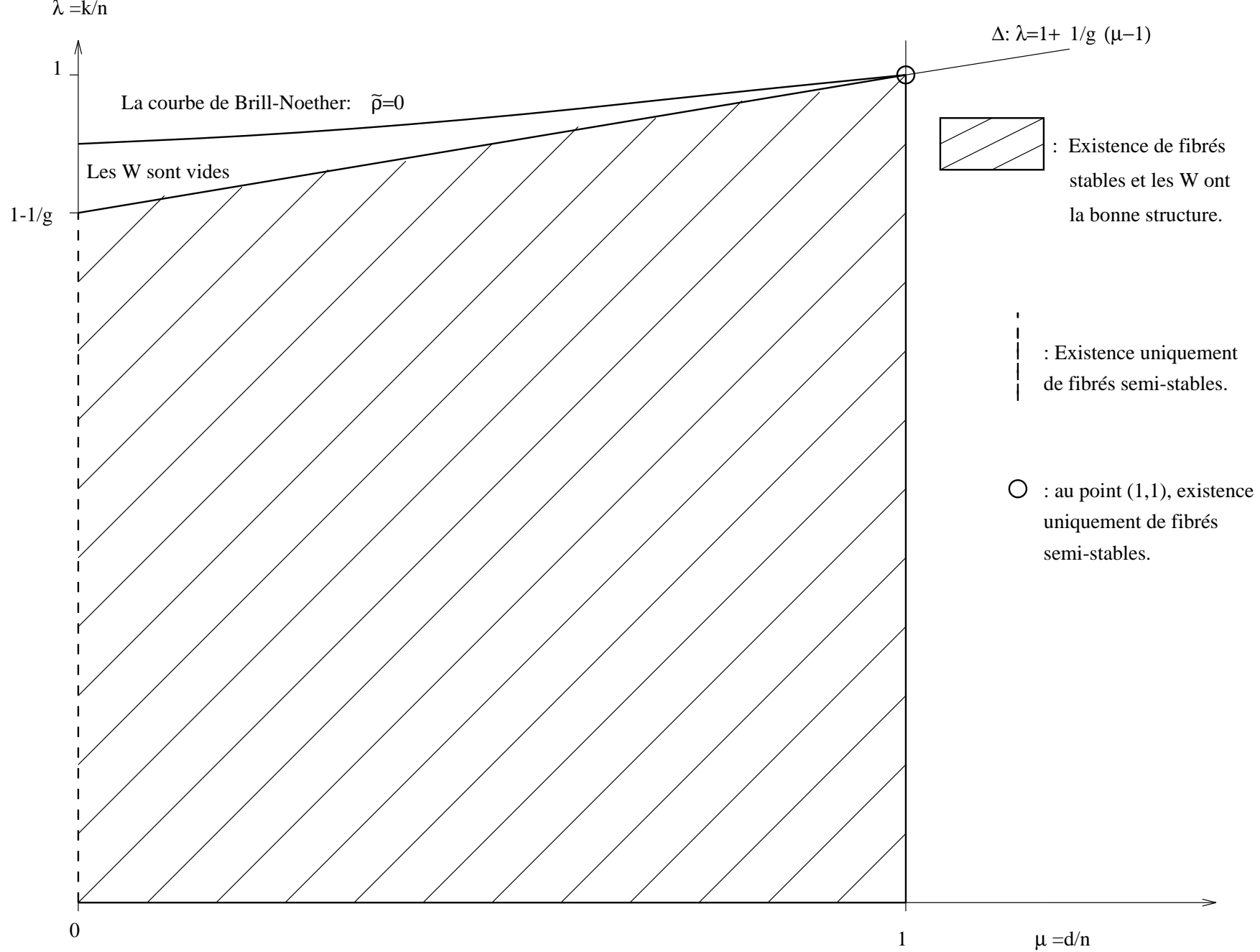


Figure d

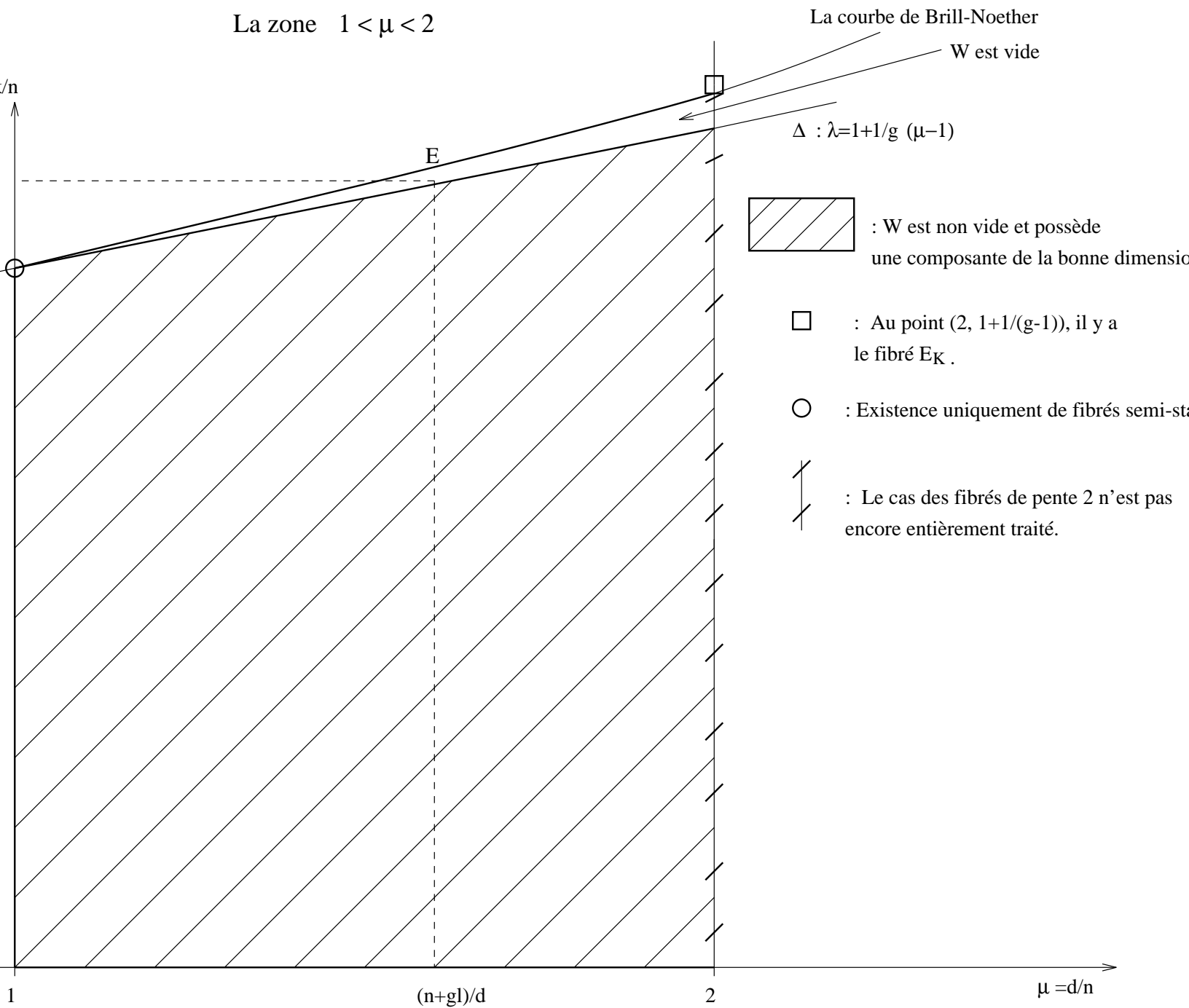


Figure f

Description de la zone de Brill-Noether

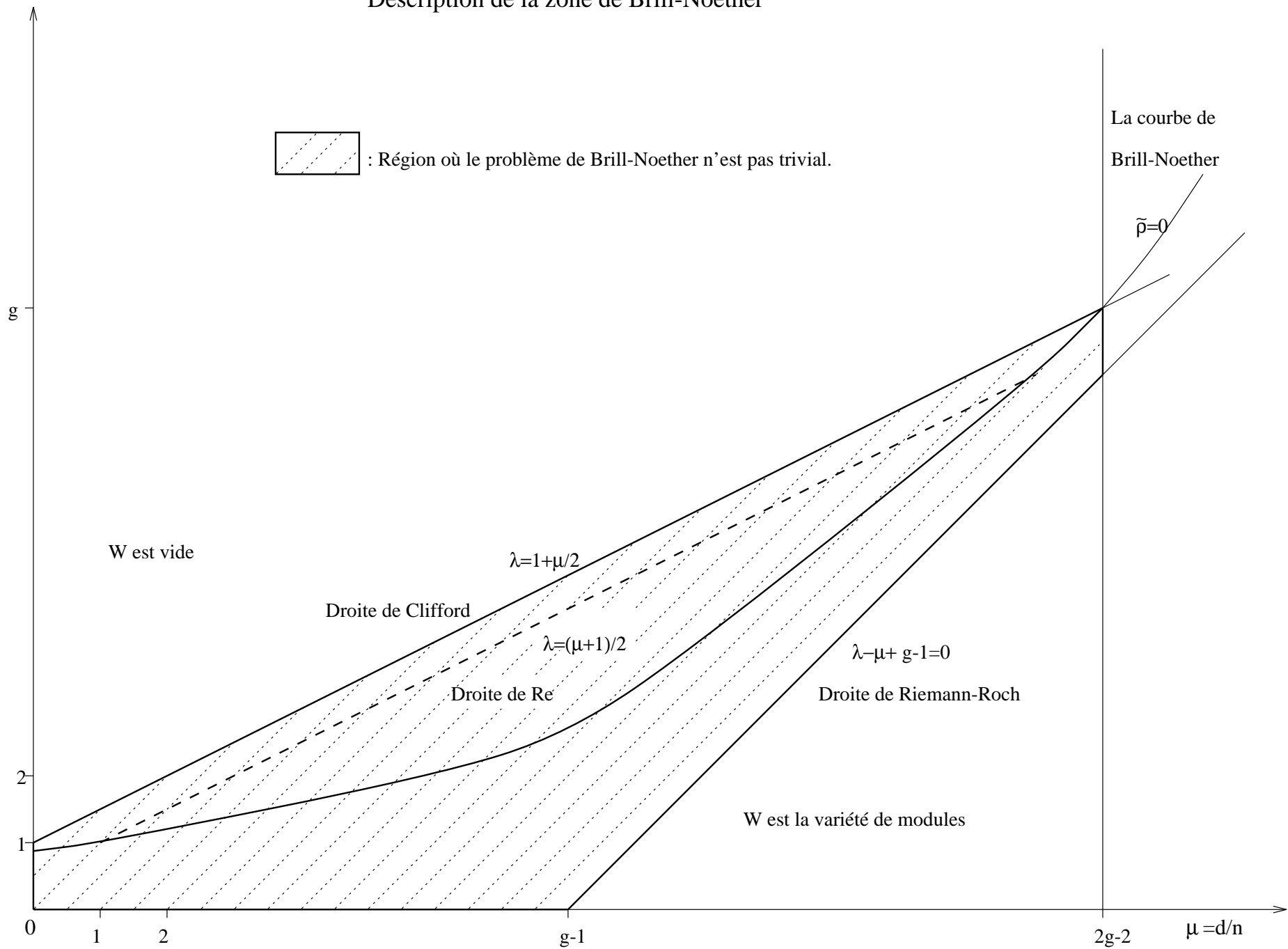


Figure a

